

1/21

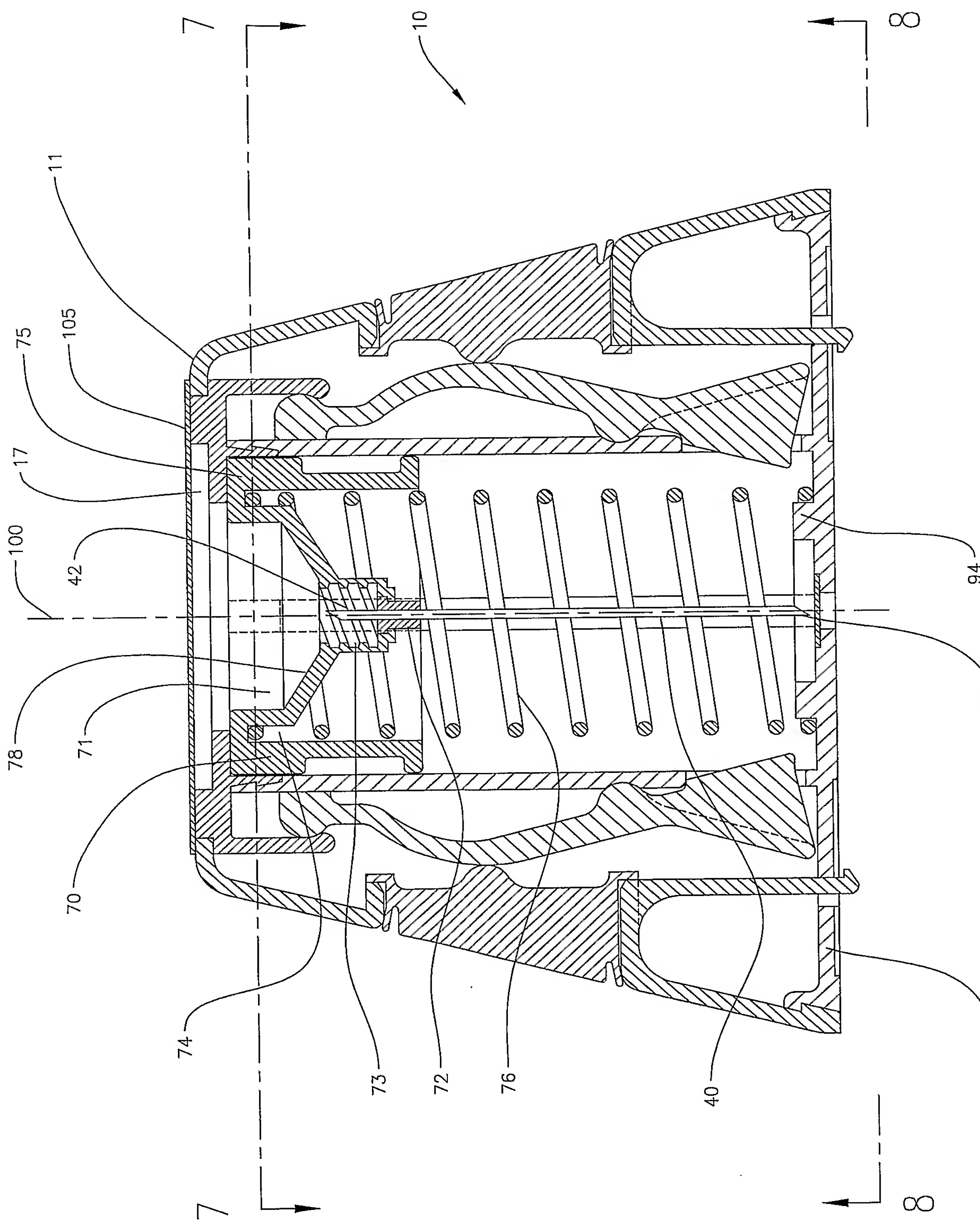


Fig. 1

2/21

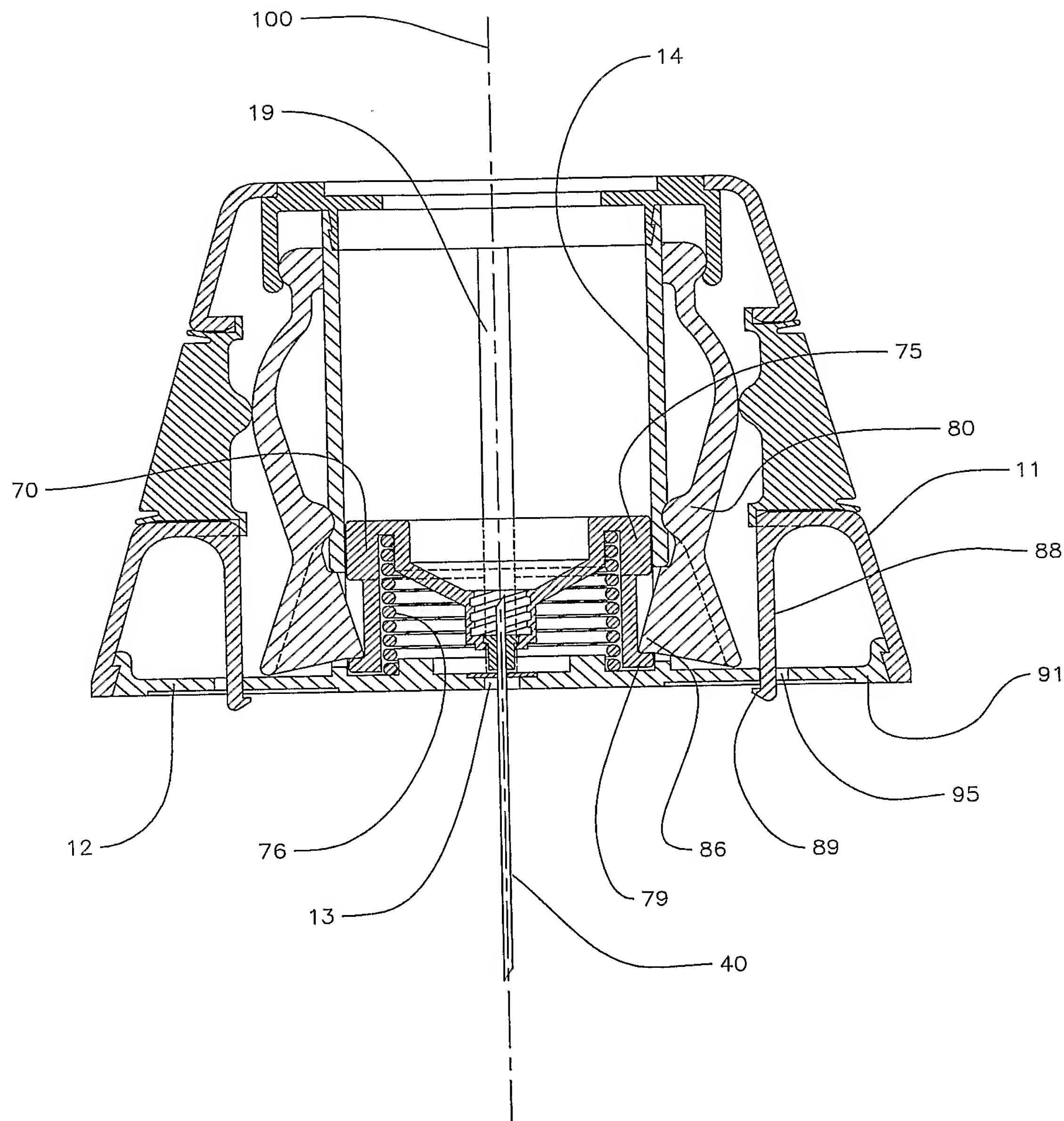


Fig. 2

3/21

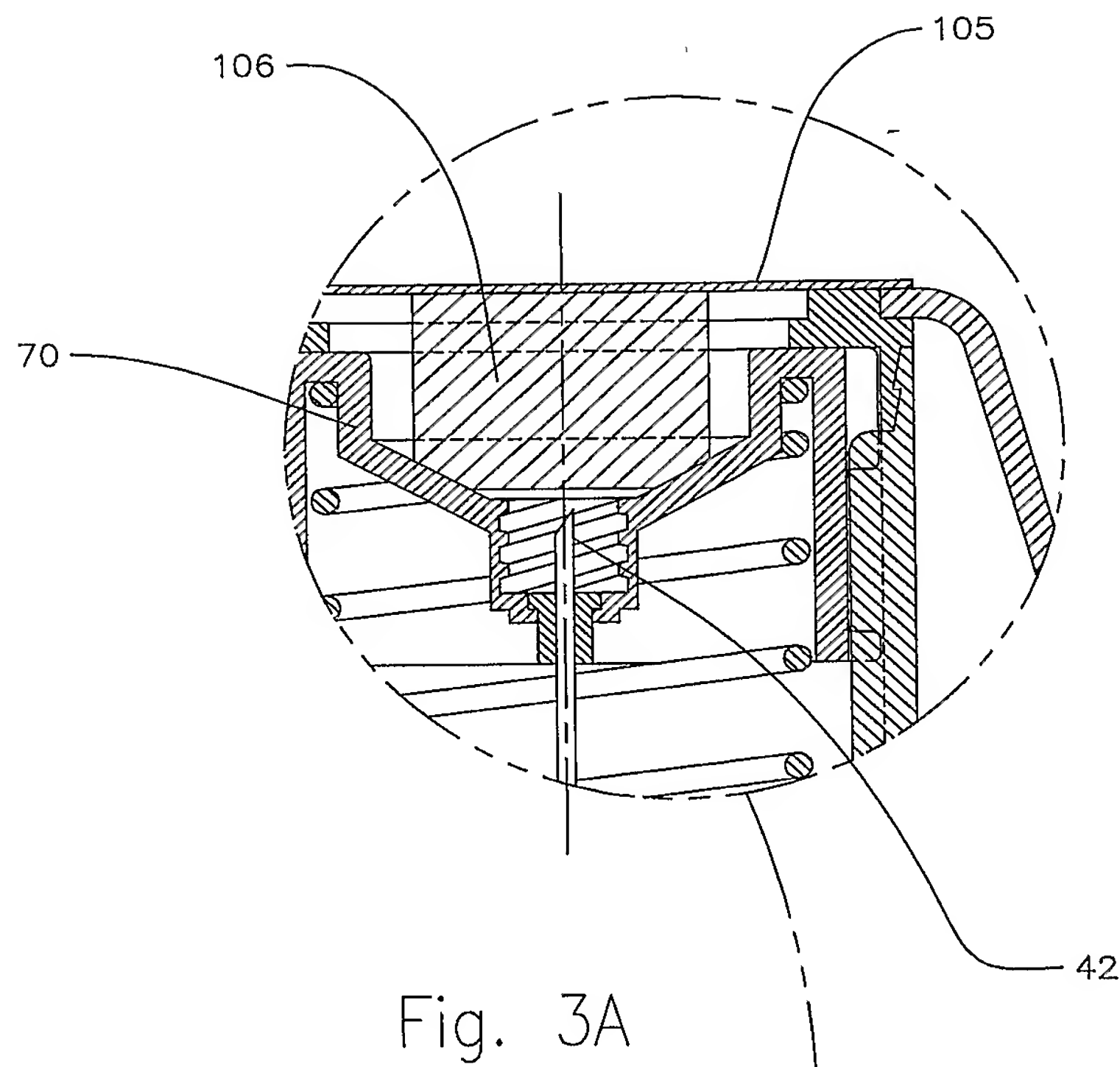


Fig. 3A

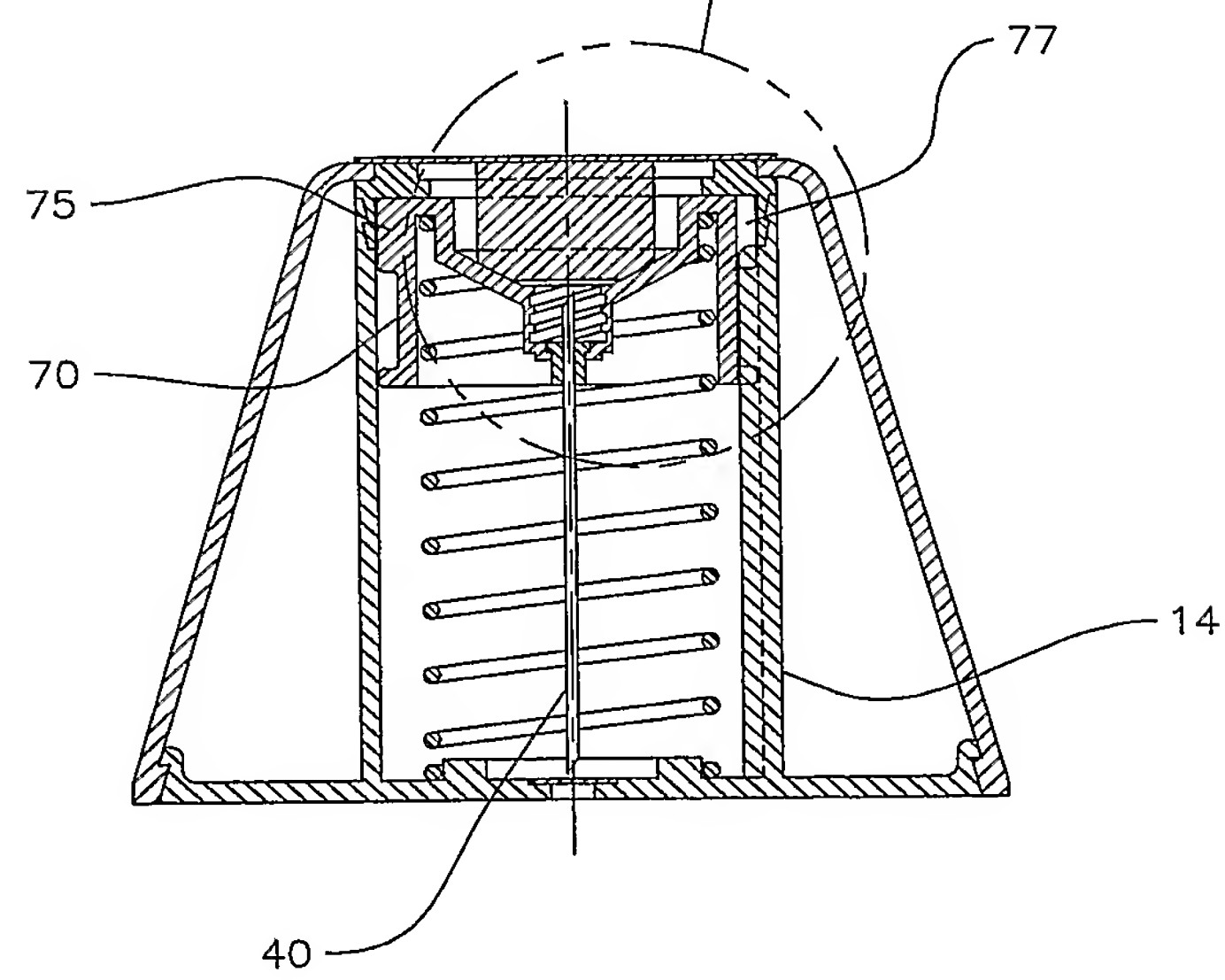


Fig. 3

4/21

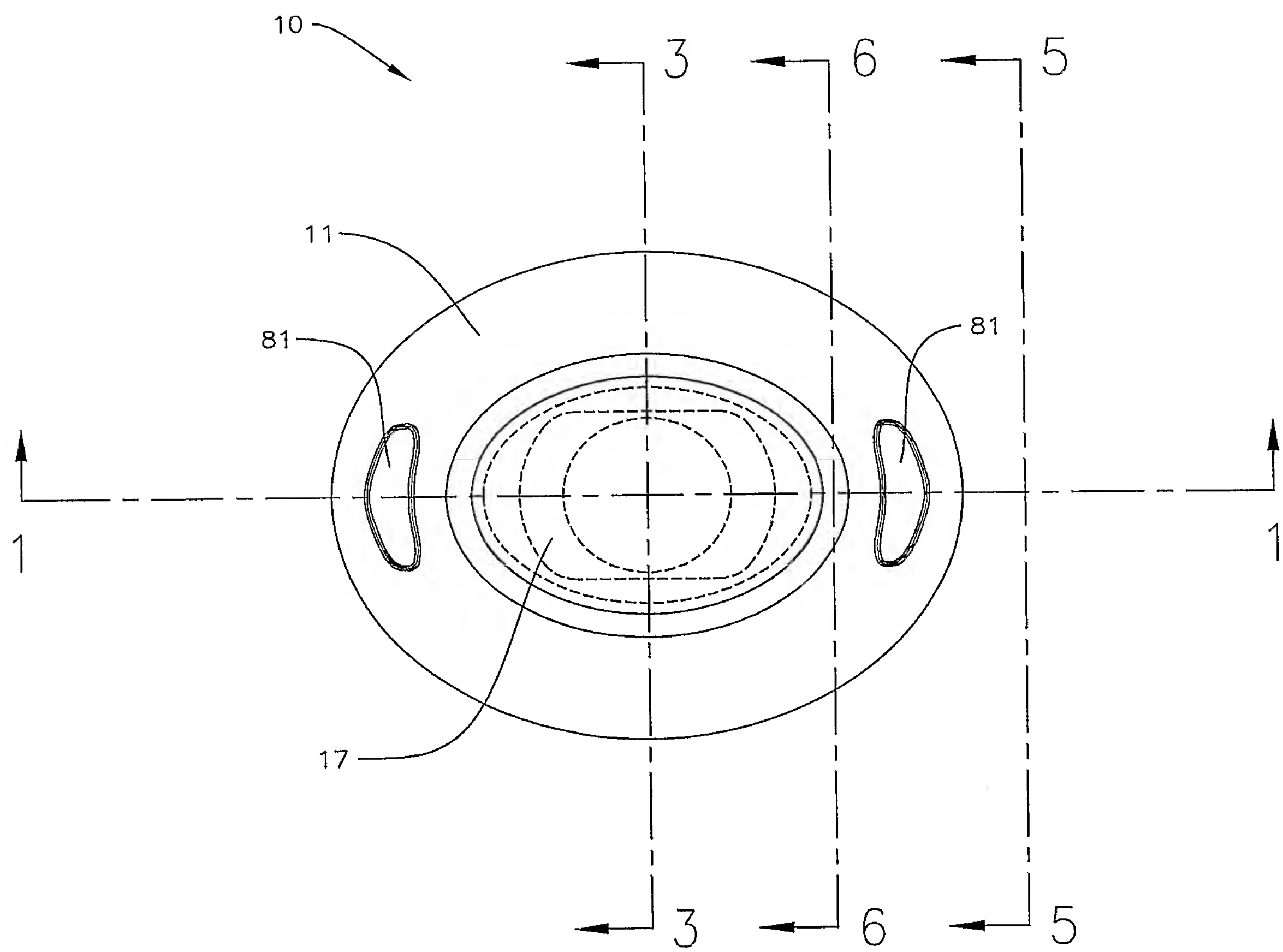


Fig. 4

5/21

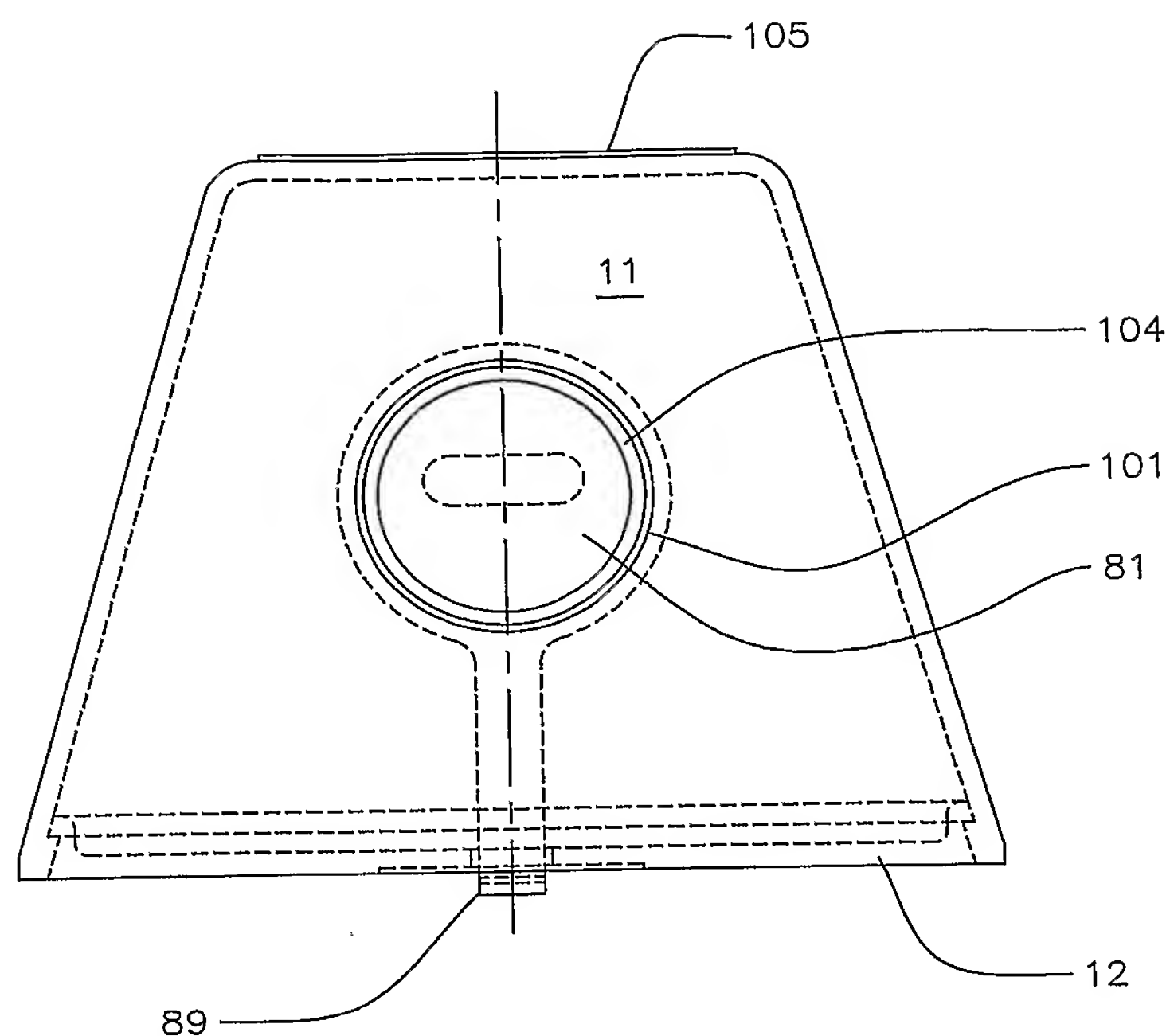


Fig. 5

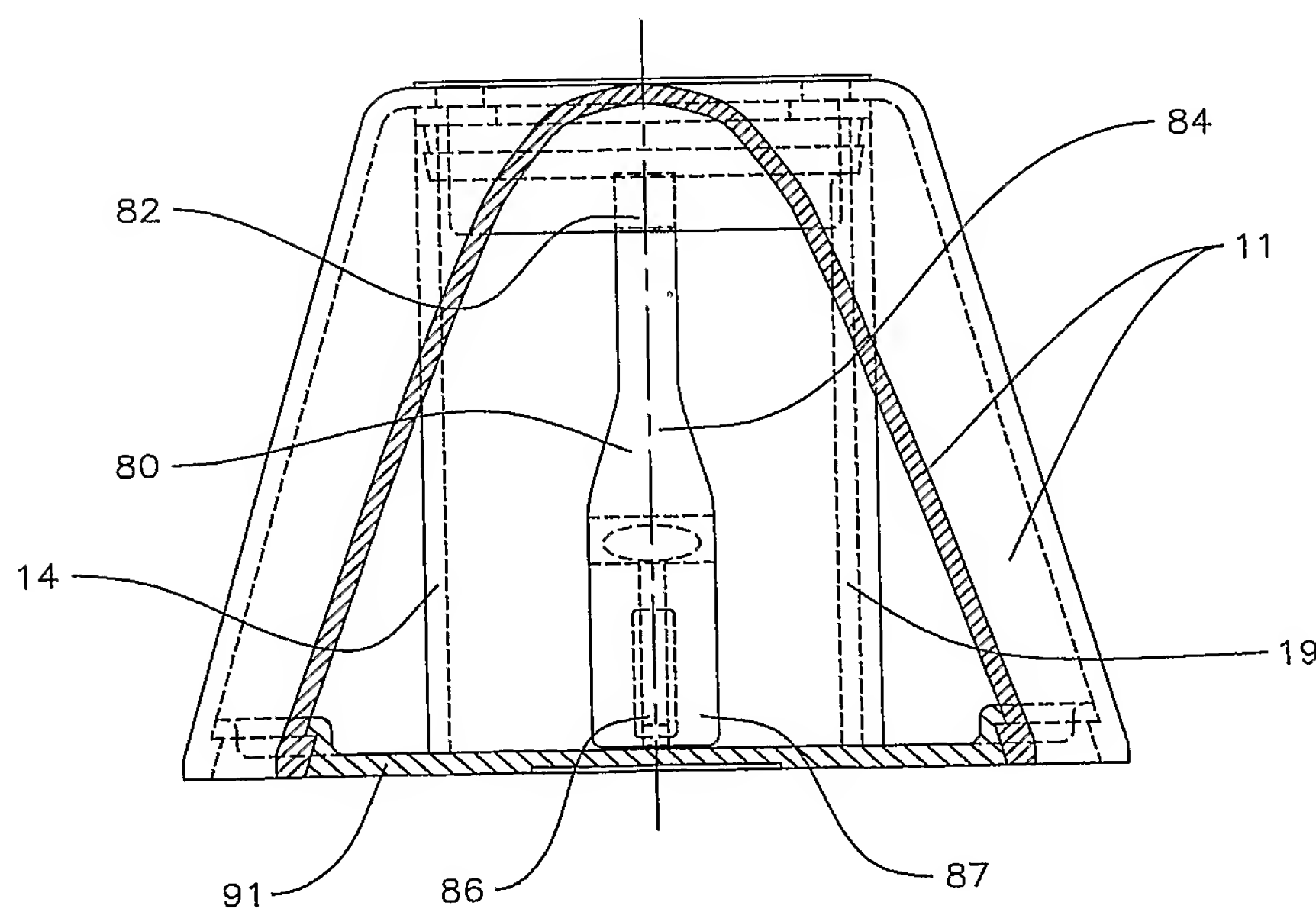


Fig. 6

6/21

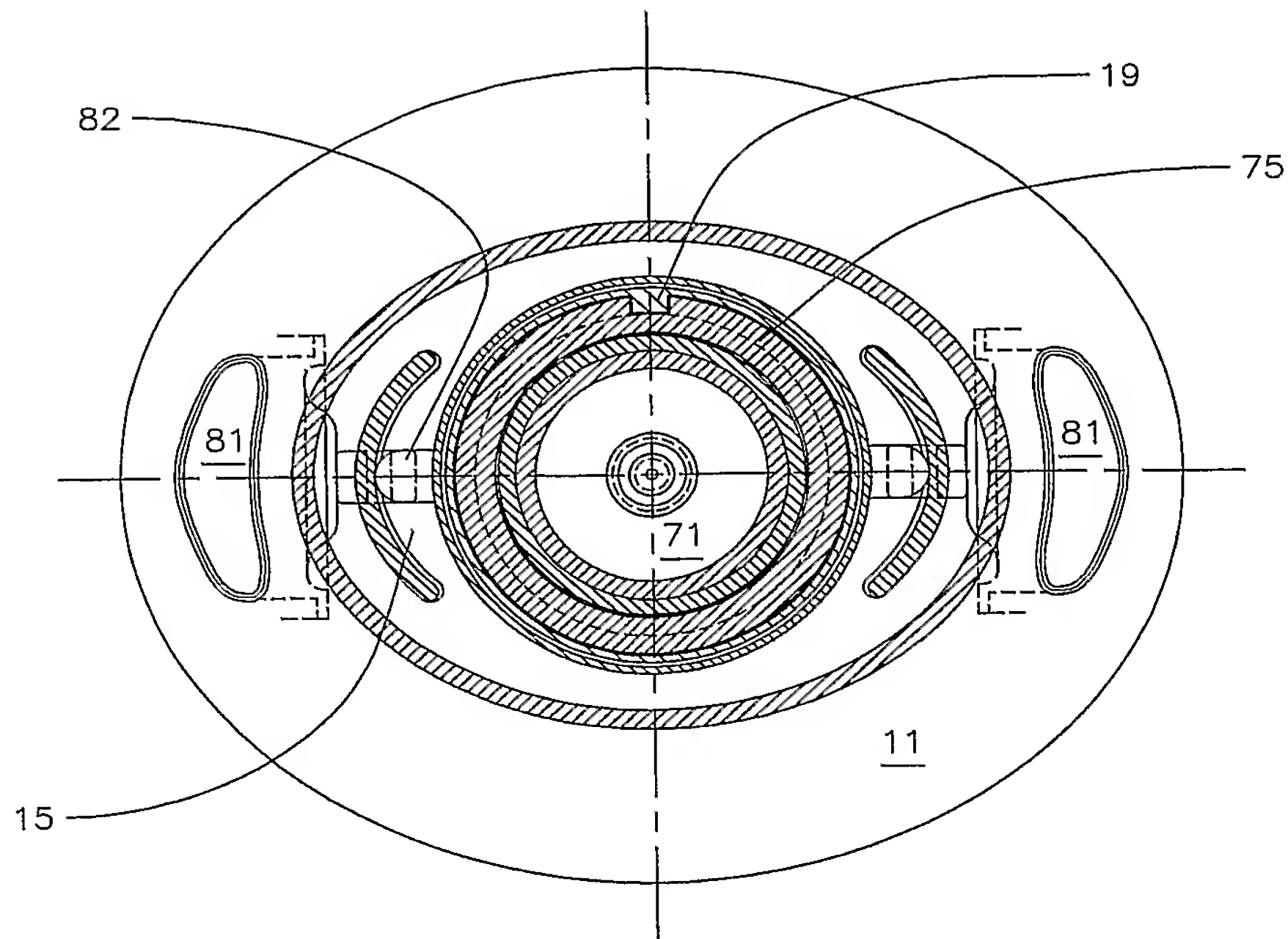


Fig. 7

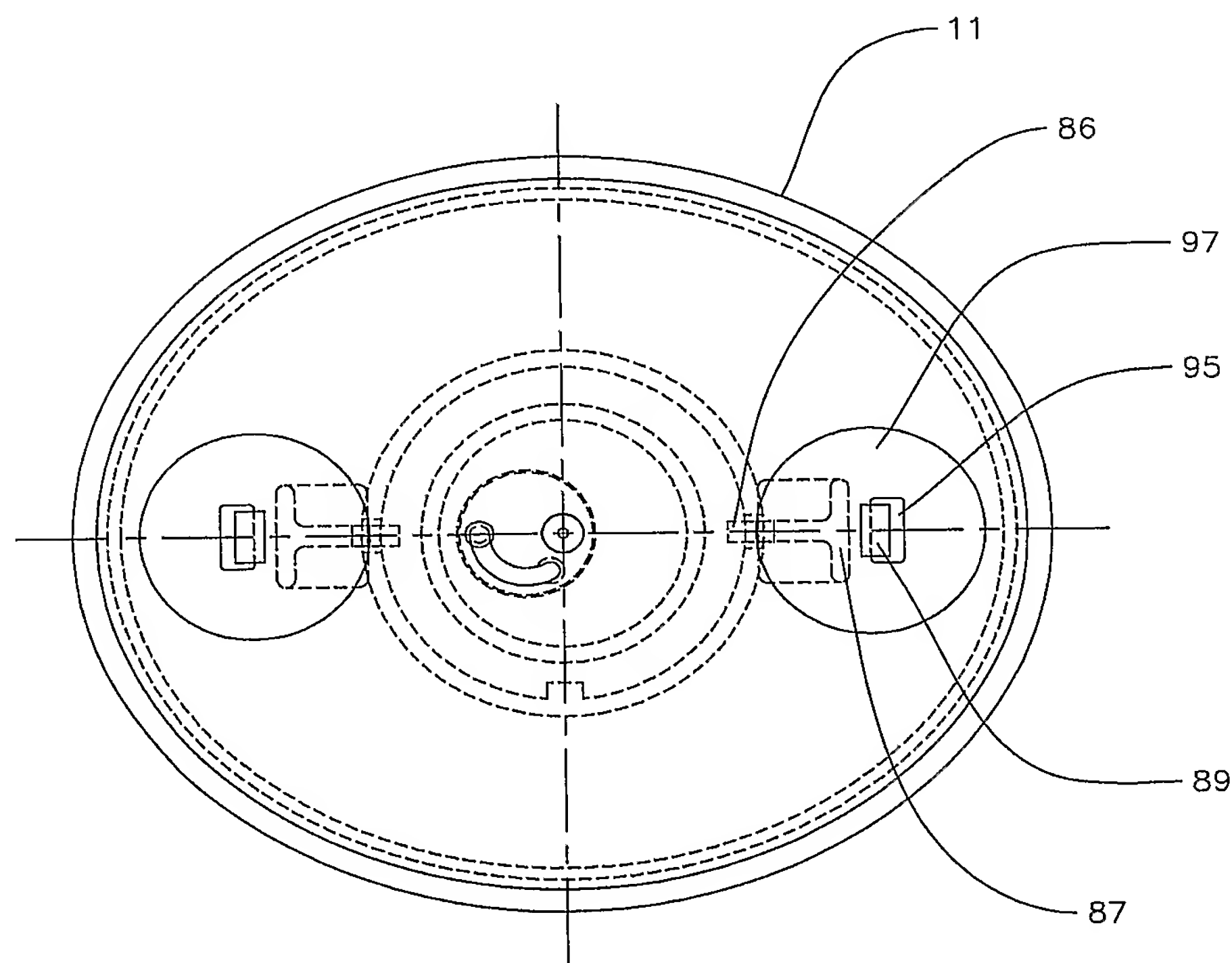


Fig. 8

7/21

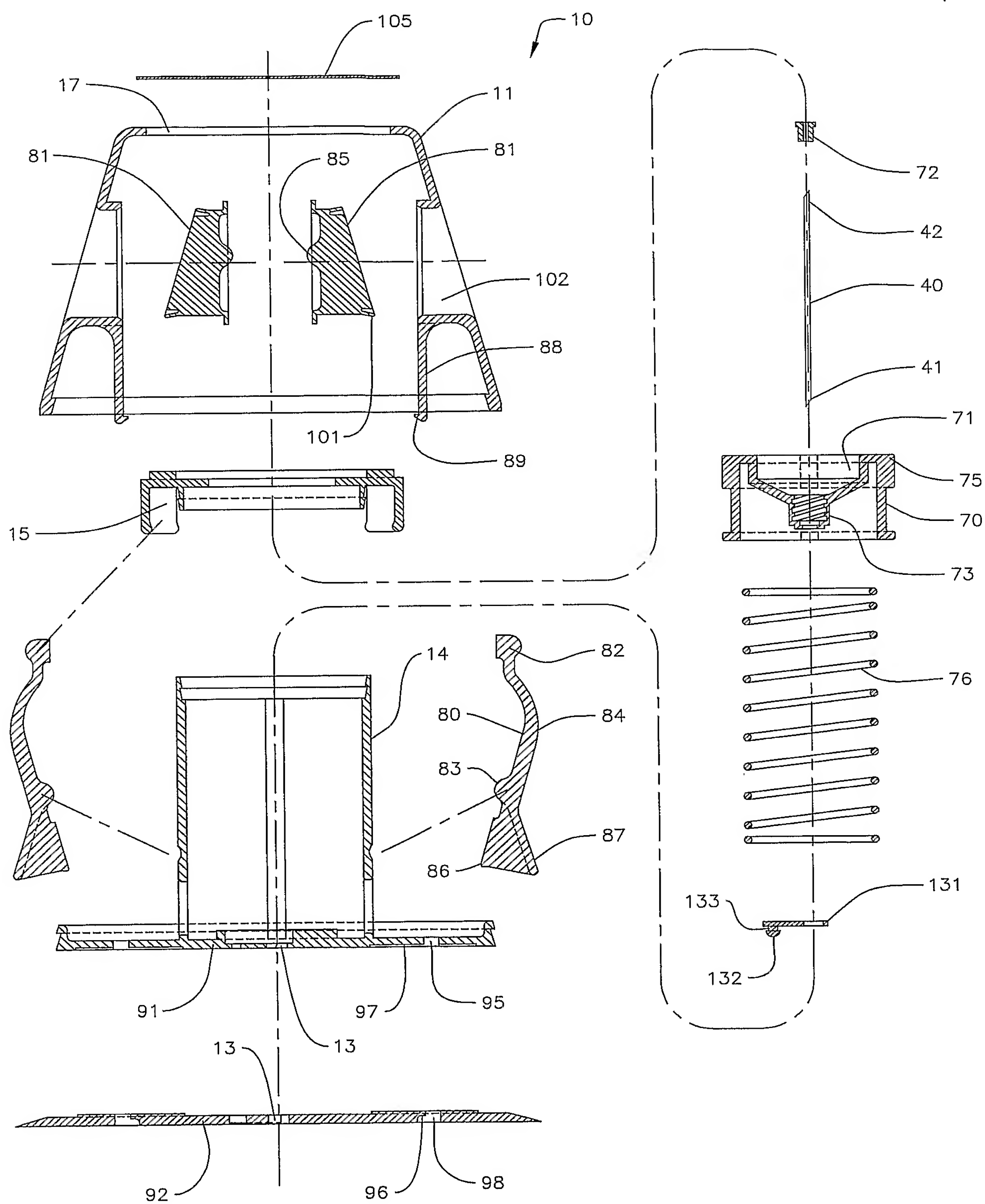
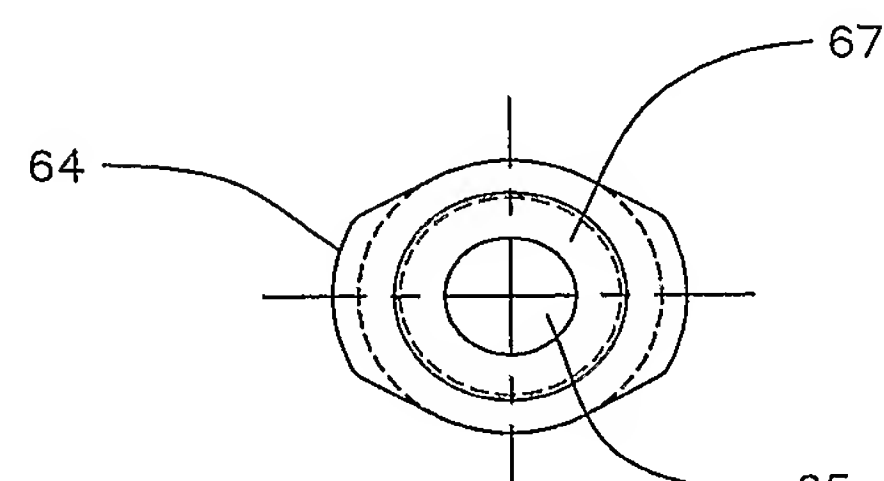
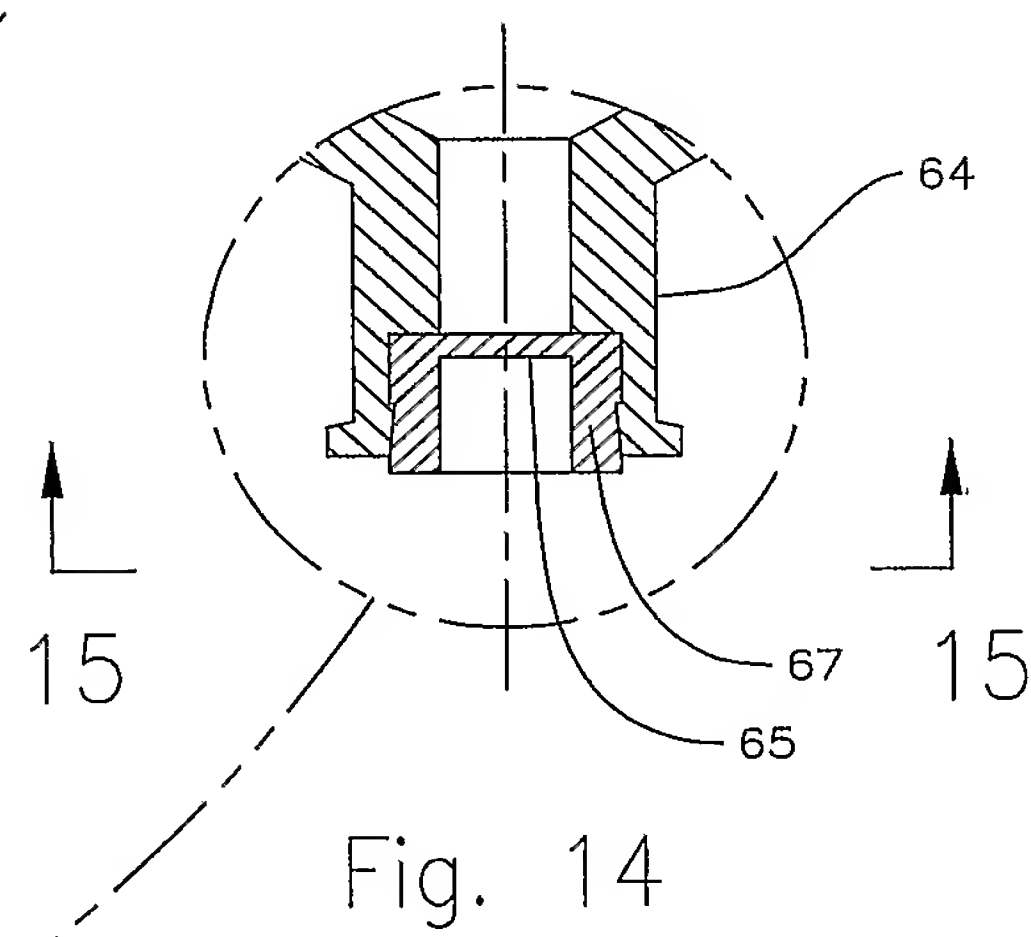
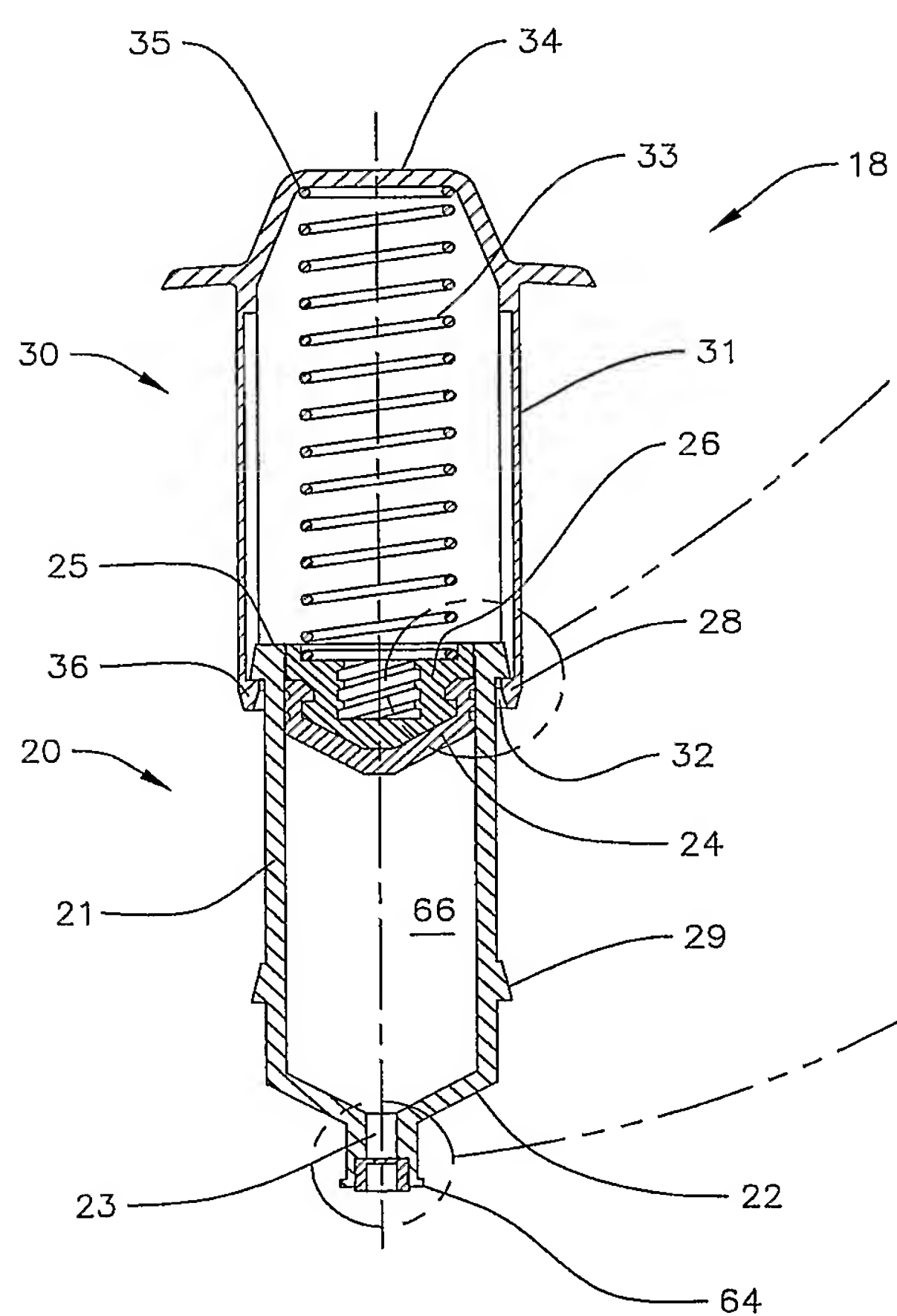
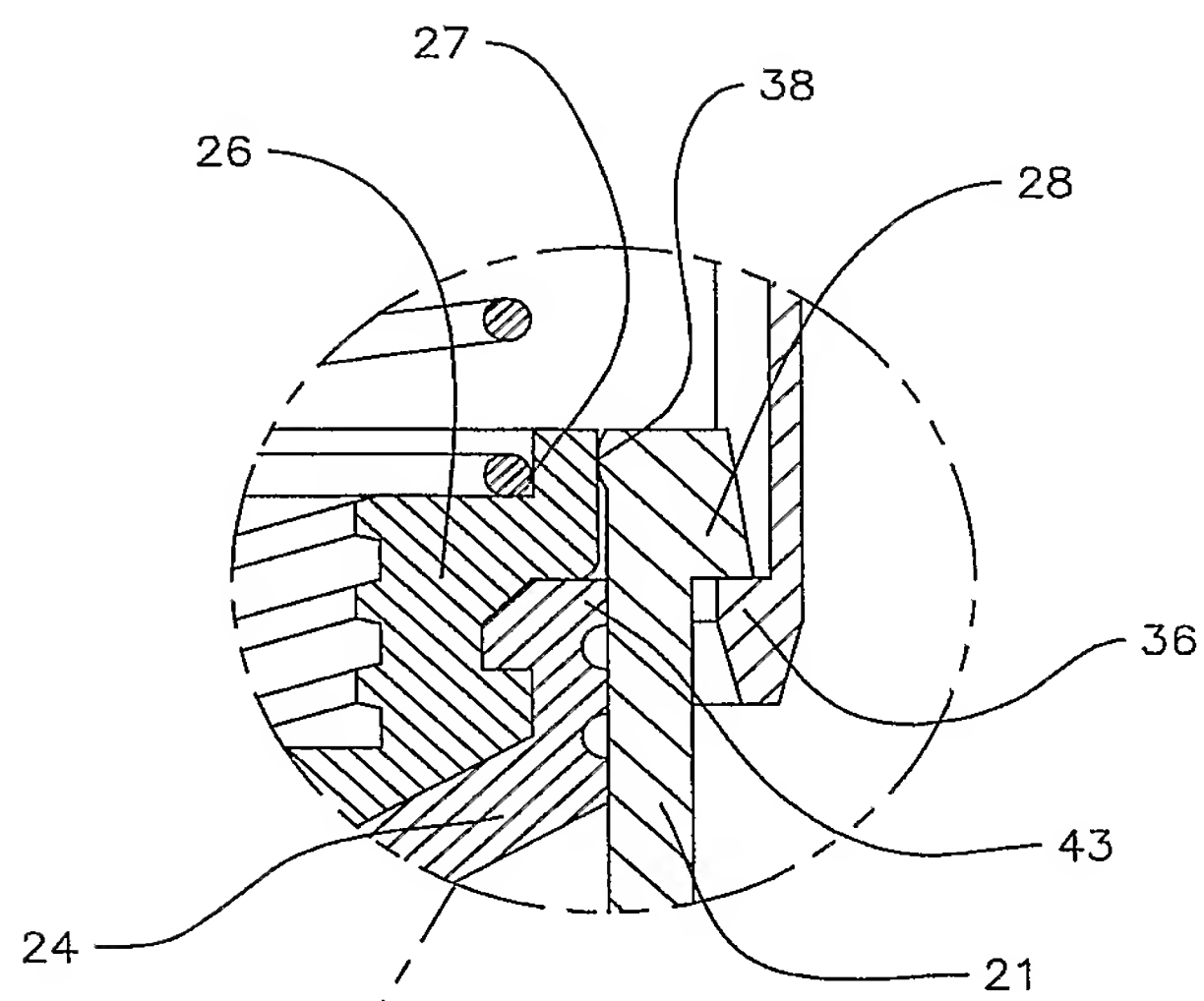
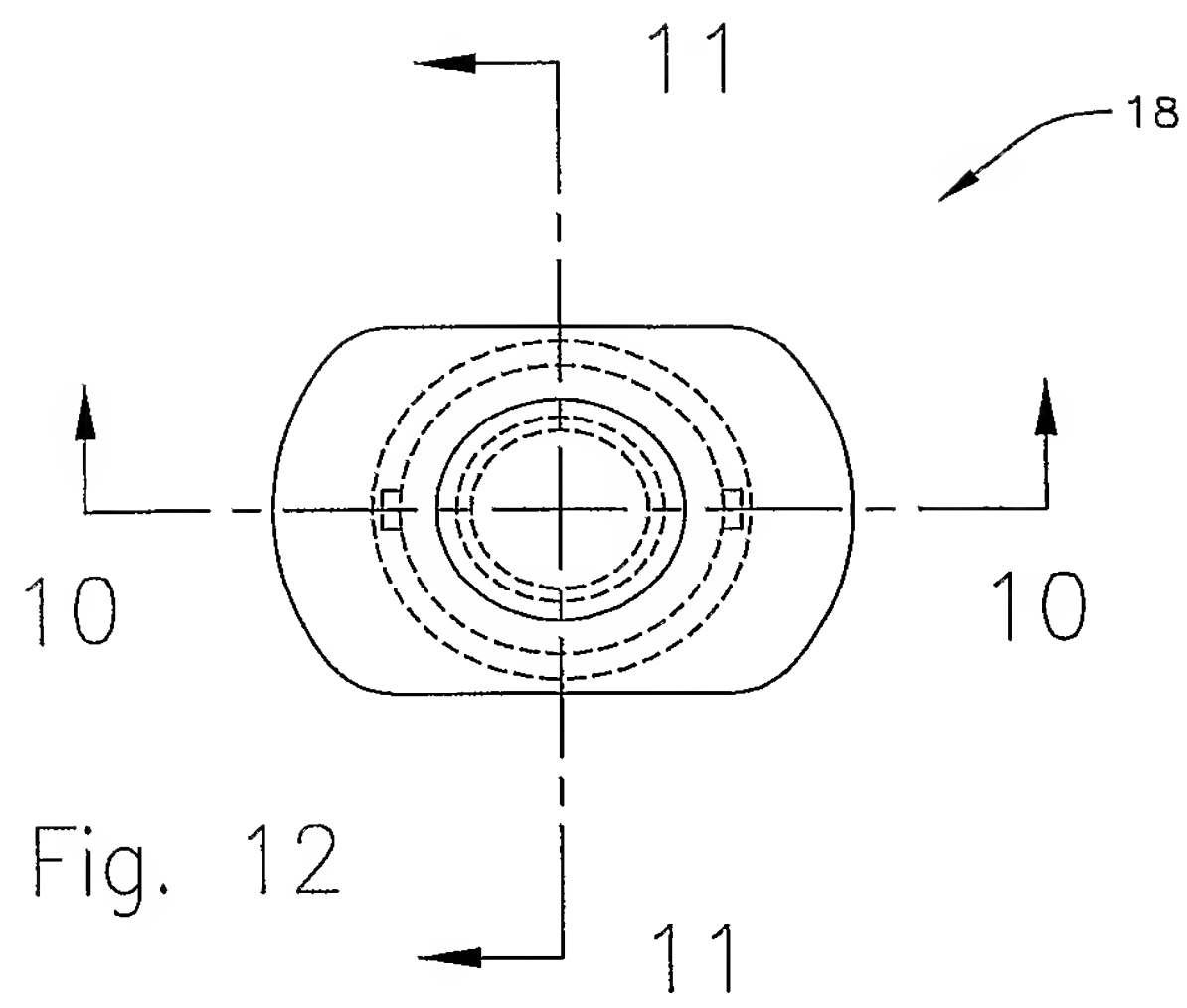


Fig. 9

8/21



9/21

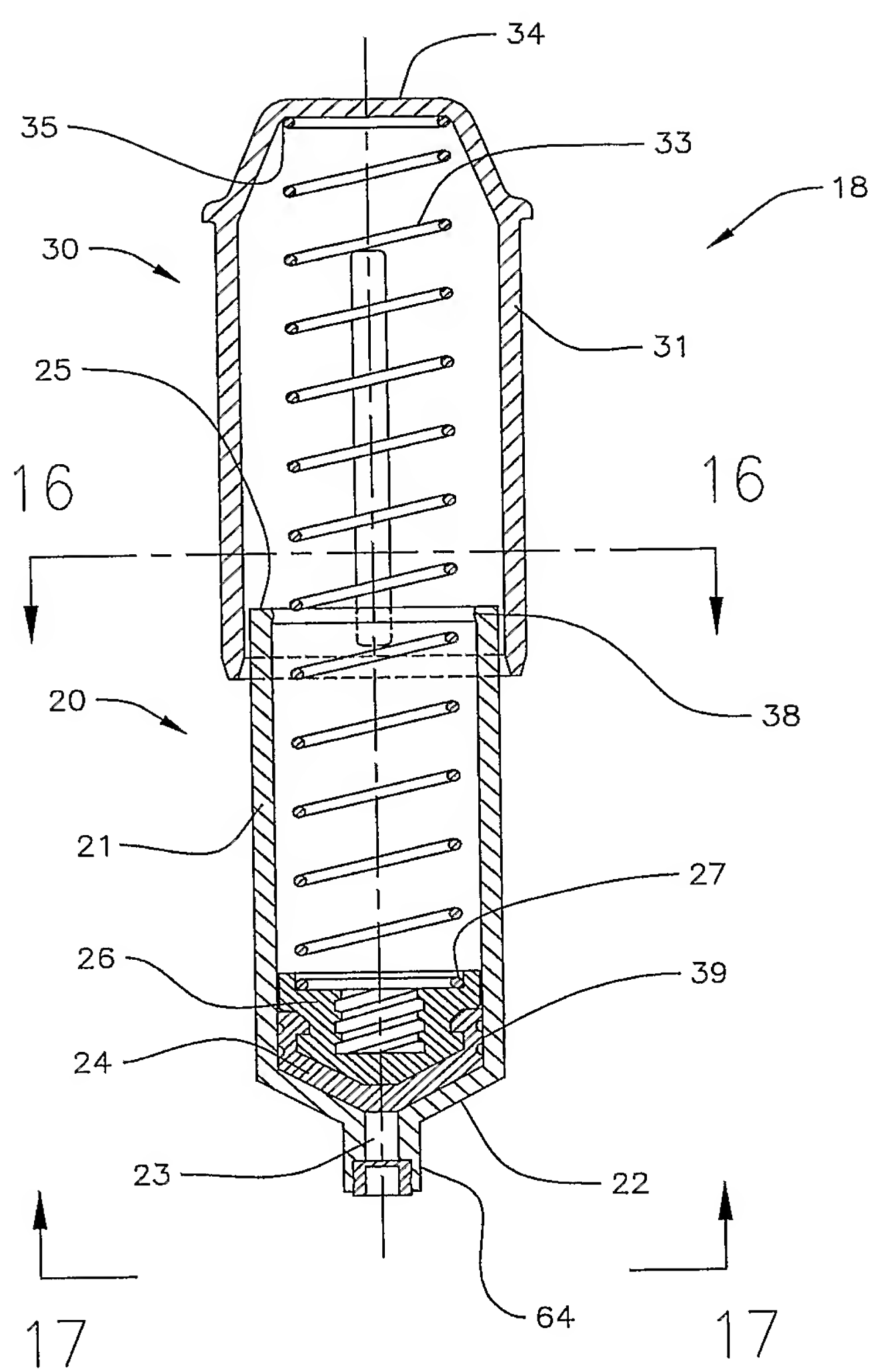


Fig. 11

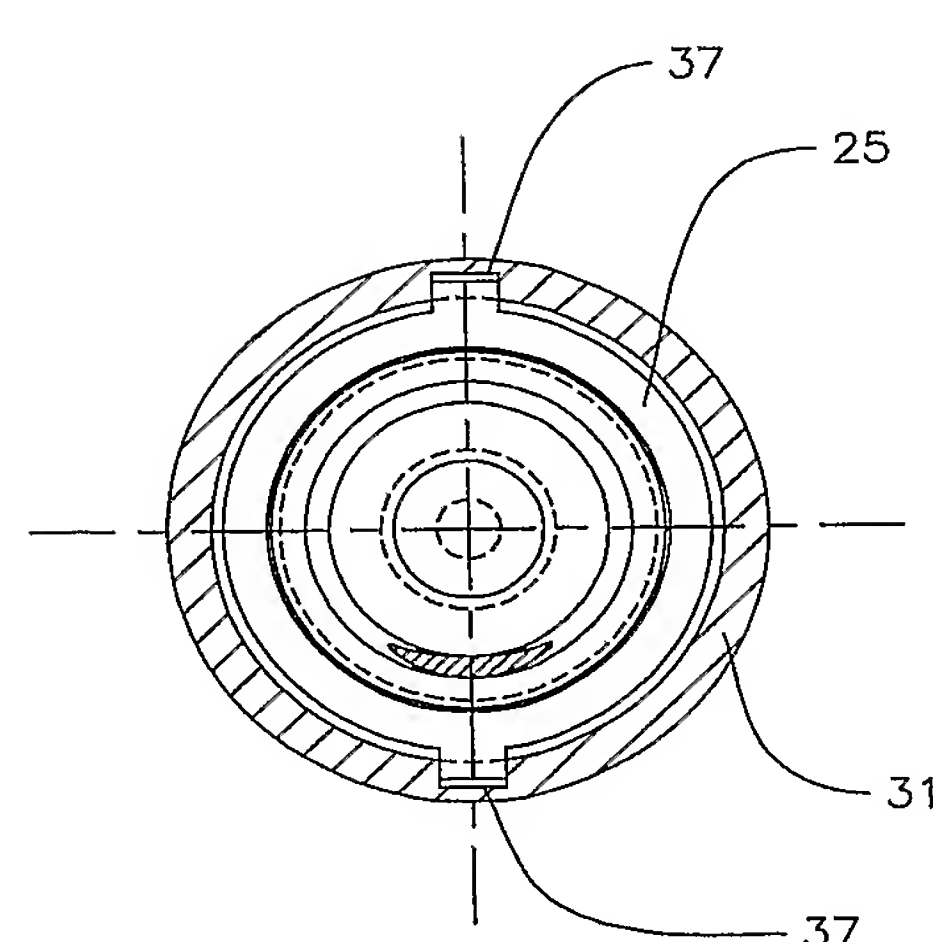


Fig. 16

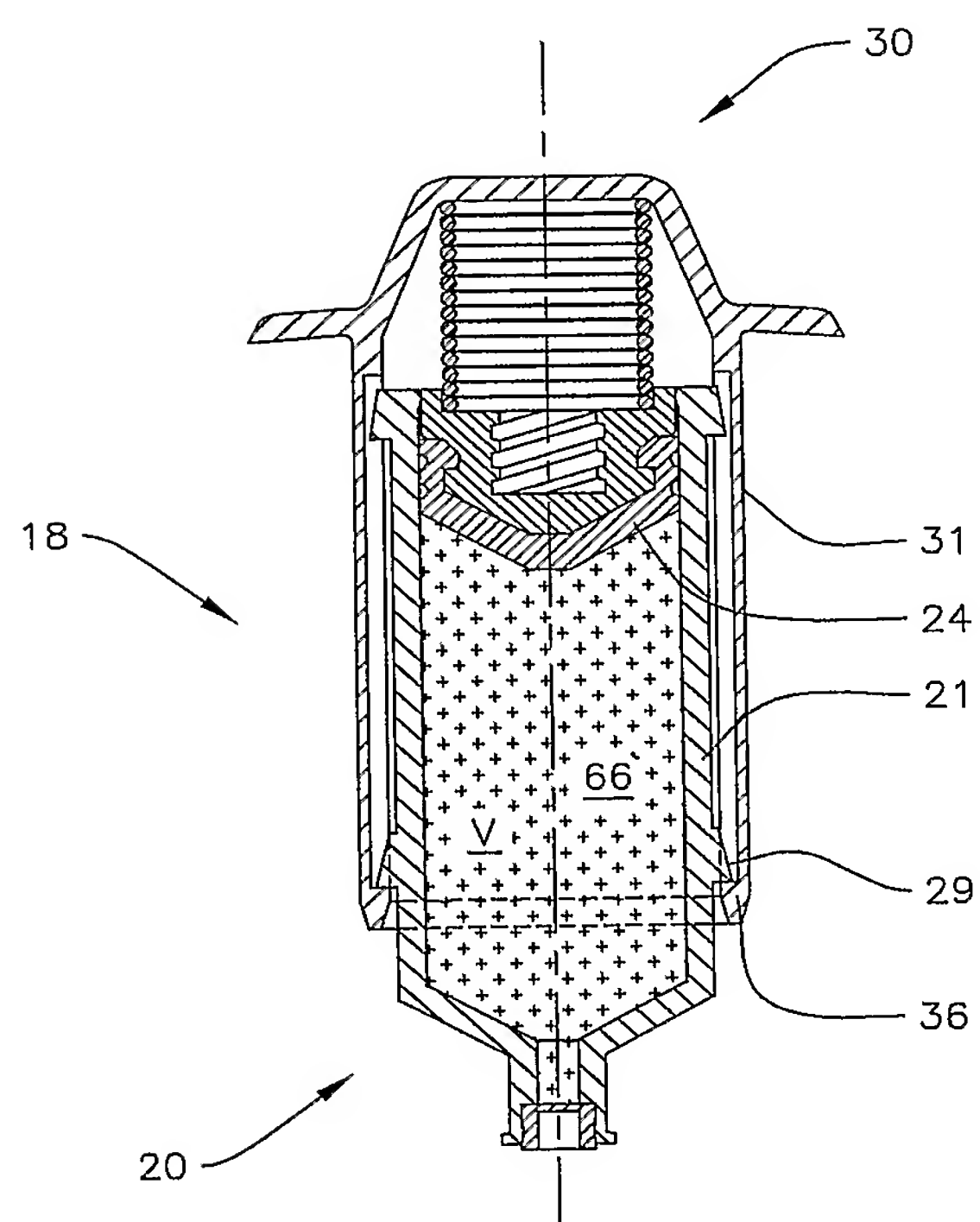


Fig. 19

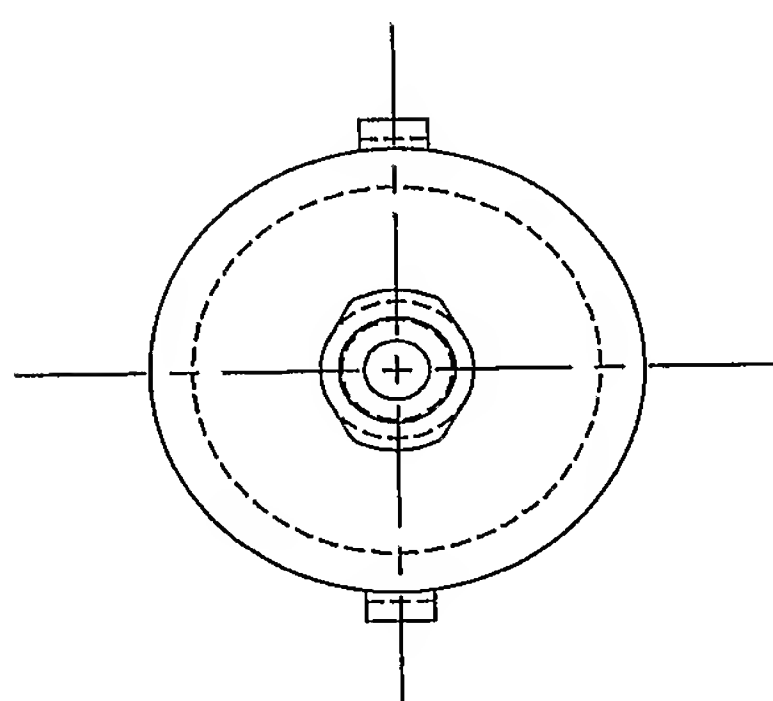


Fig. 17

10/21

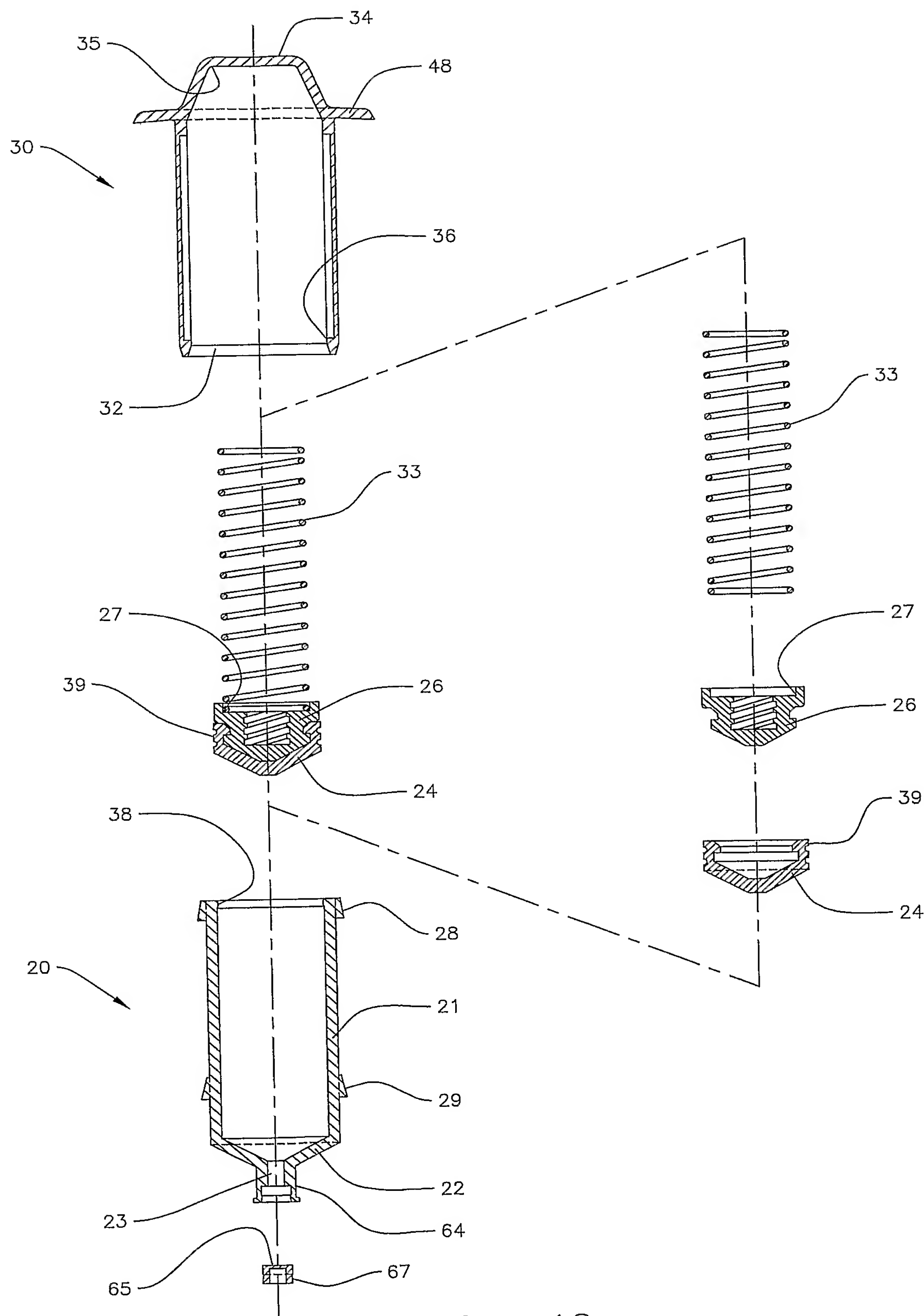


Fig. 18

11/21

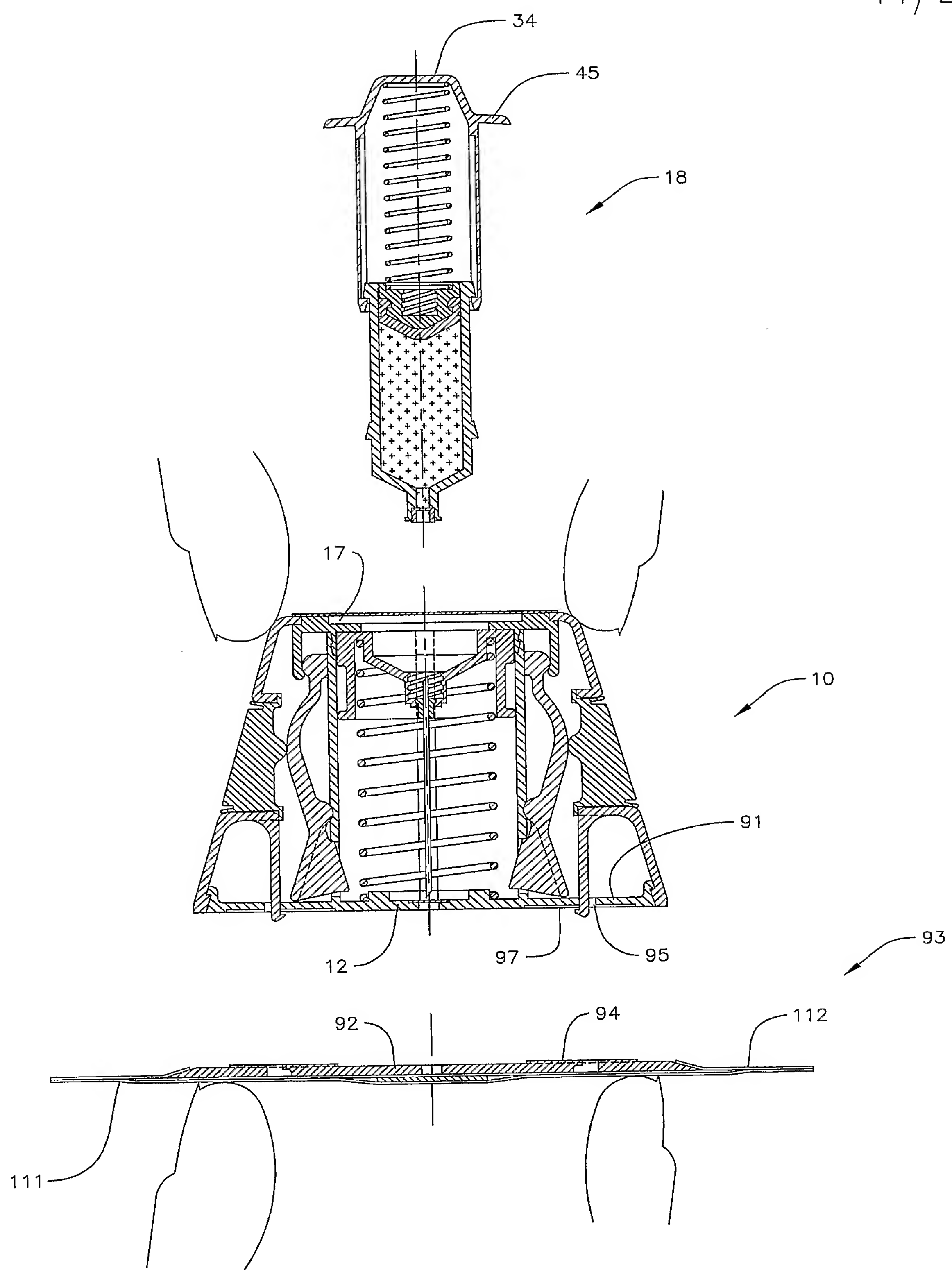


Fig. 20

12/21

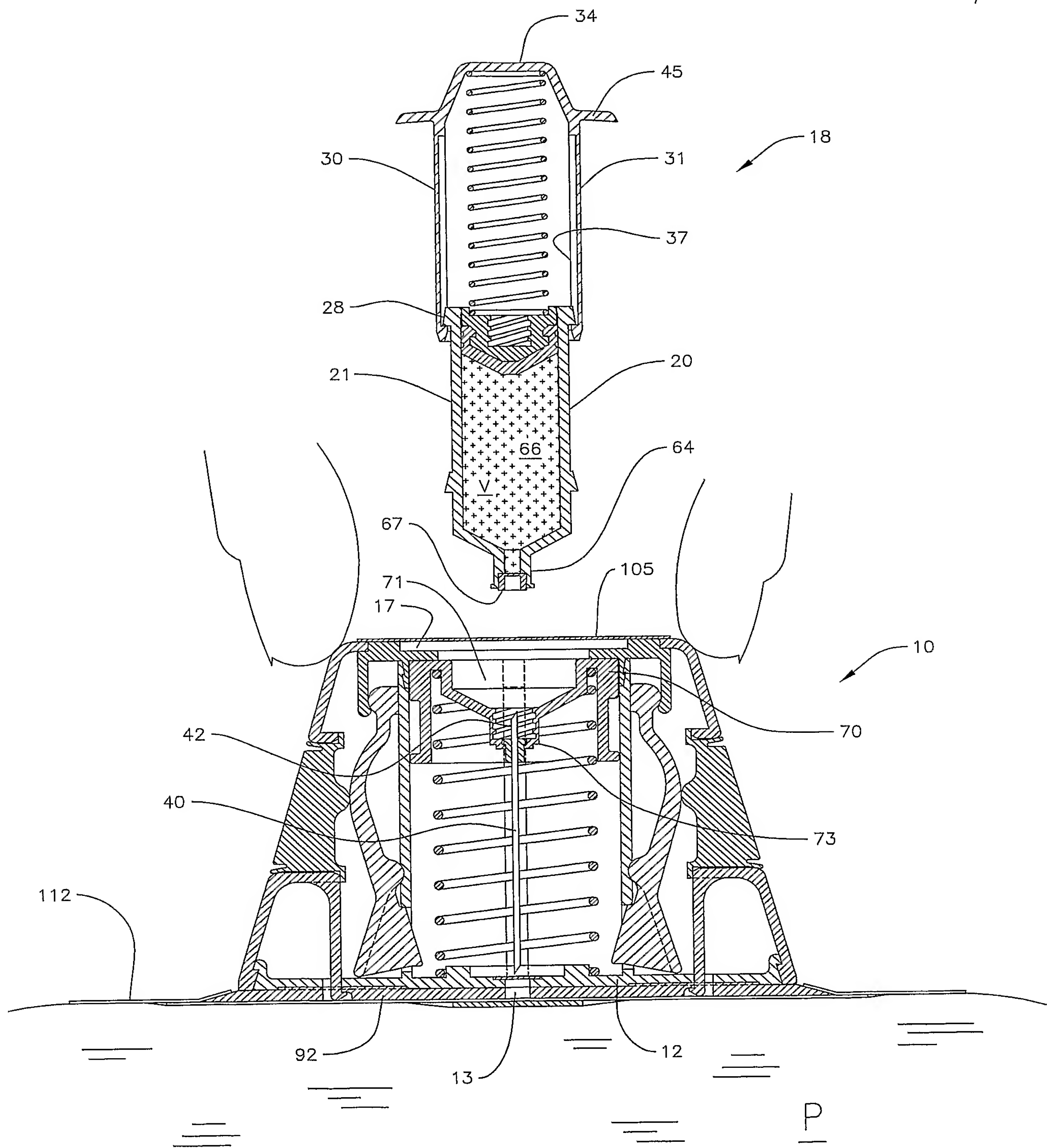


Fig. 21

13/21

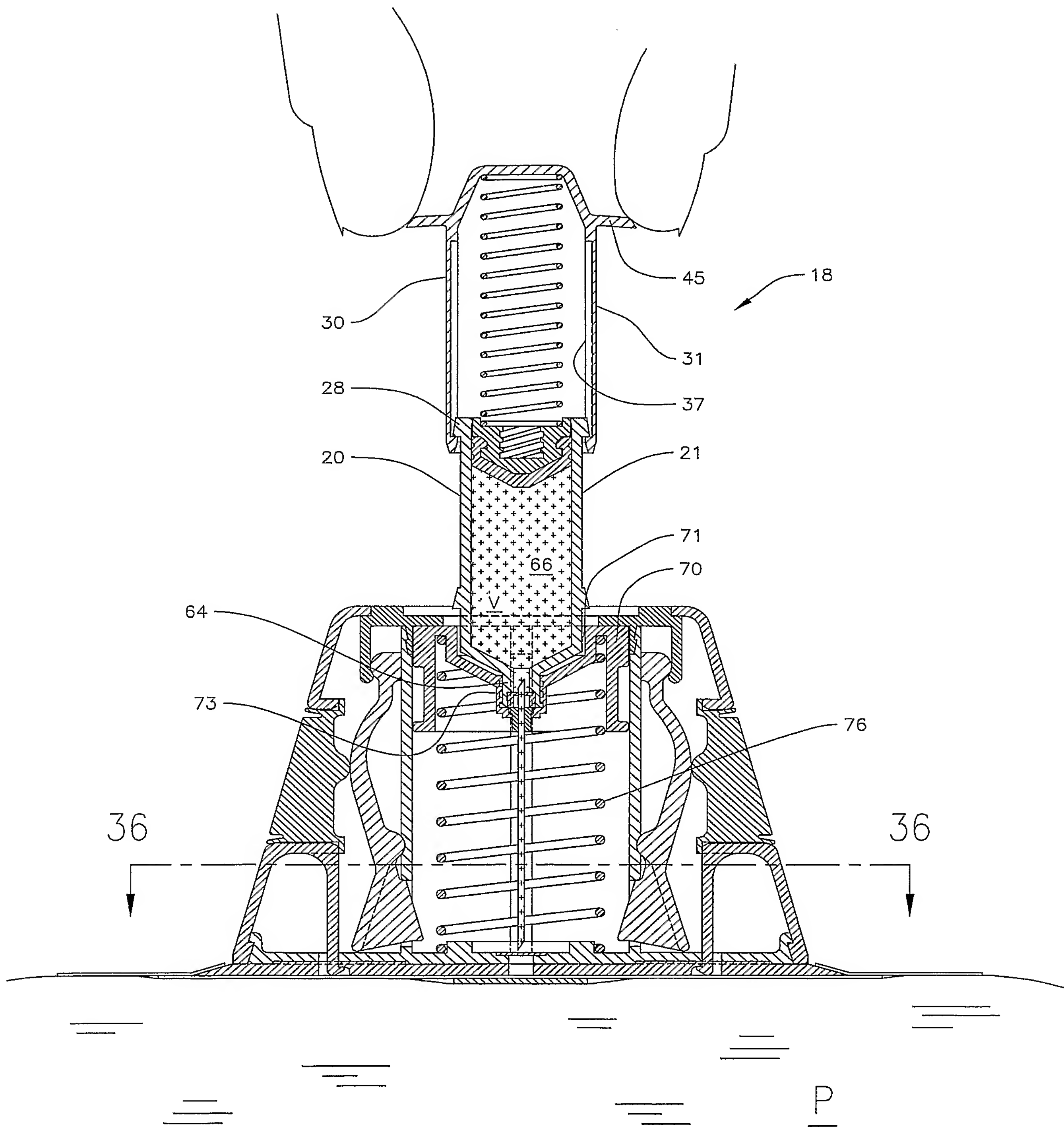


Fig. 22

14/21

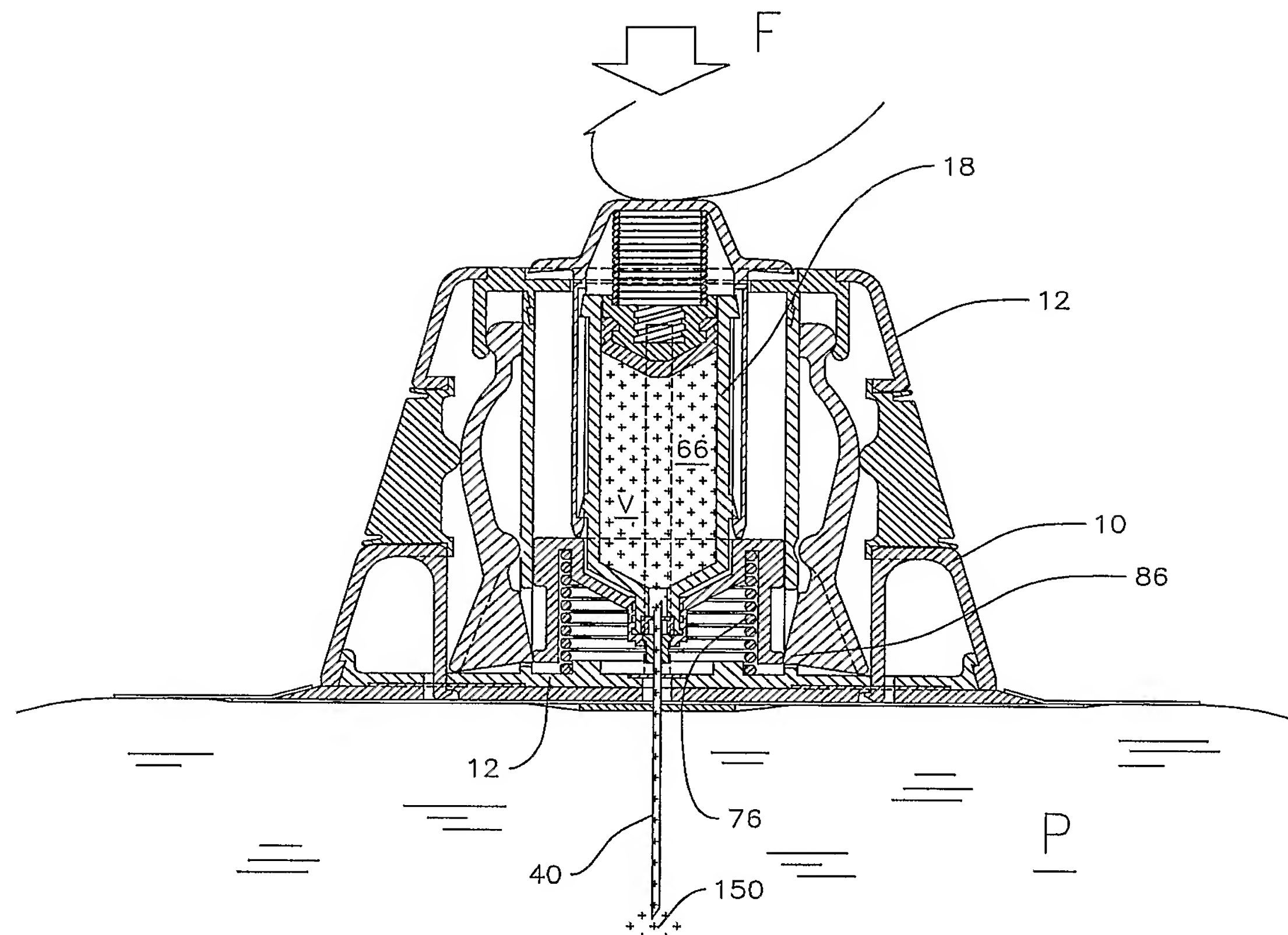


Fig. 23

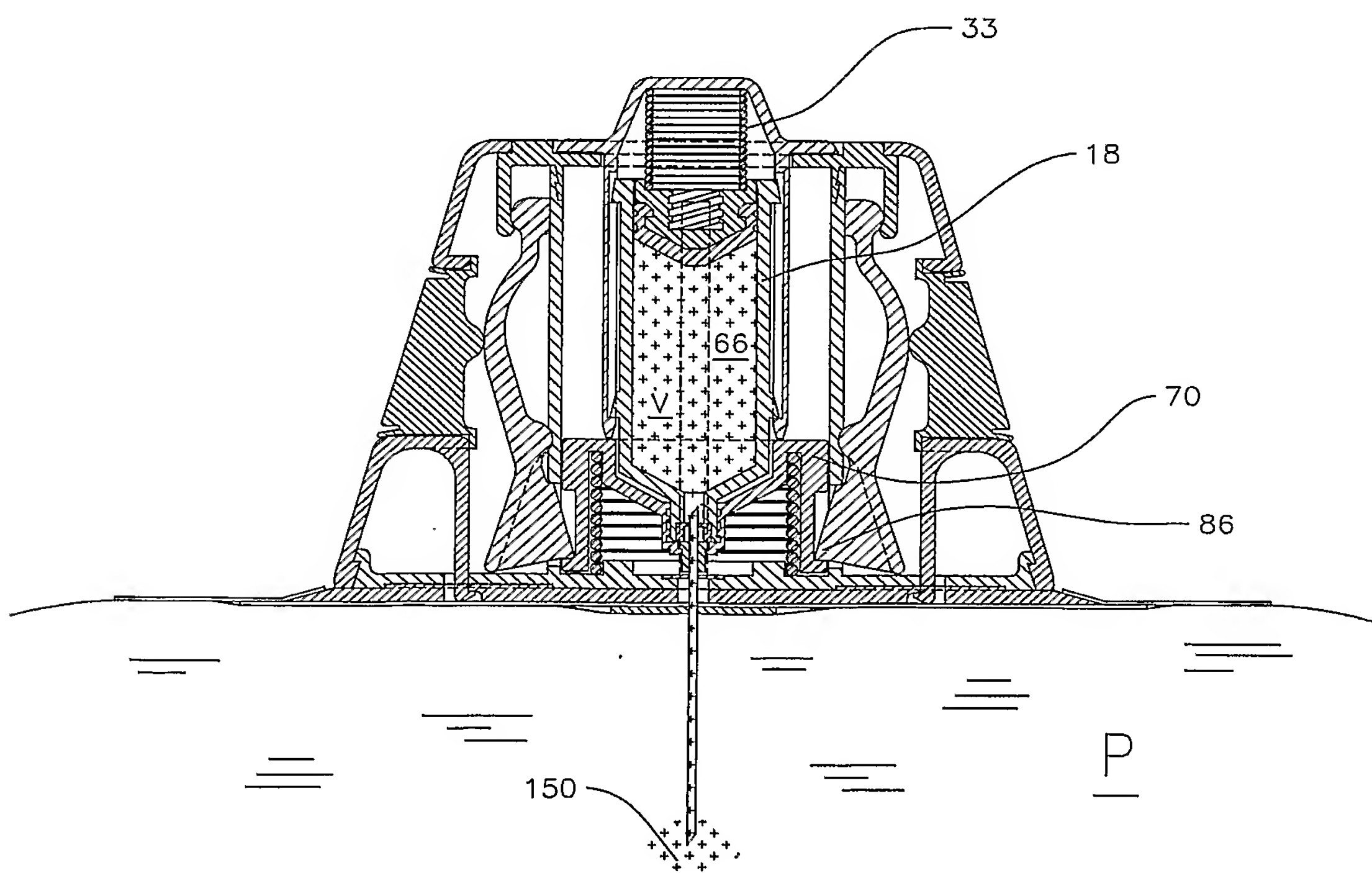


Fig. 24

15/21

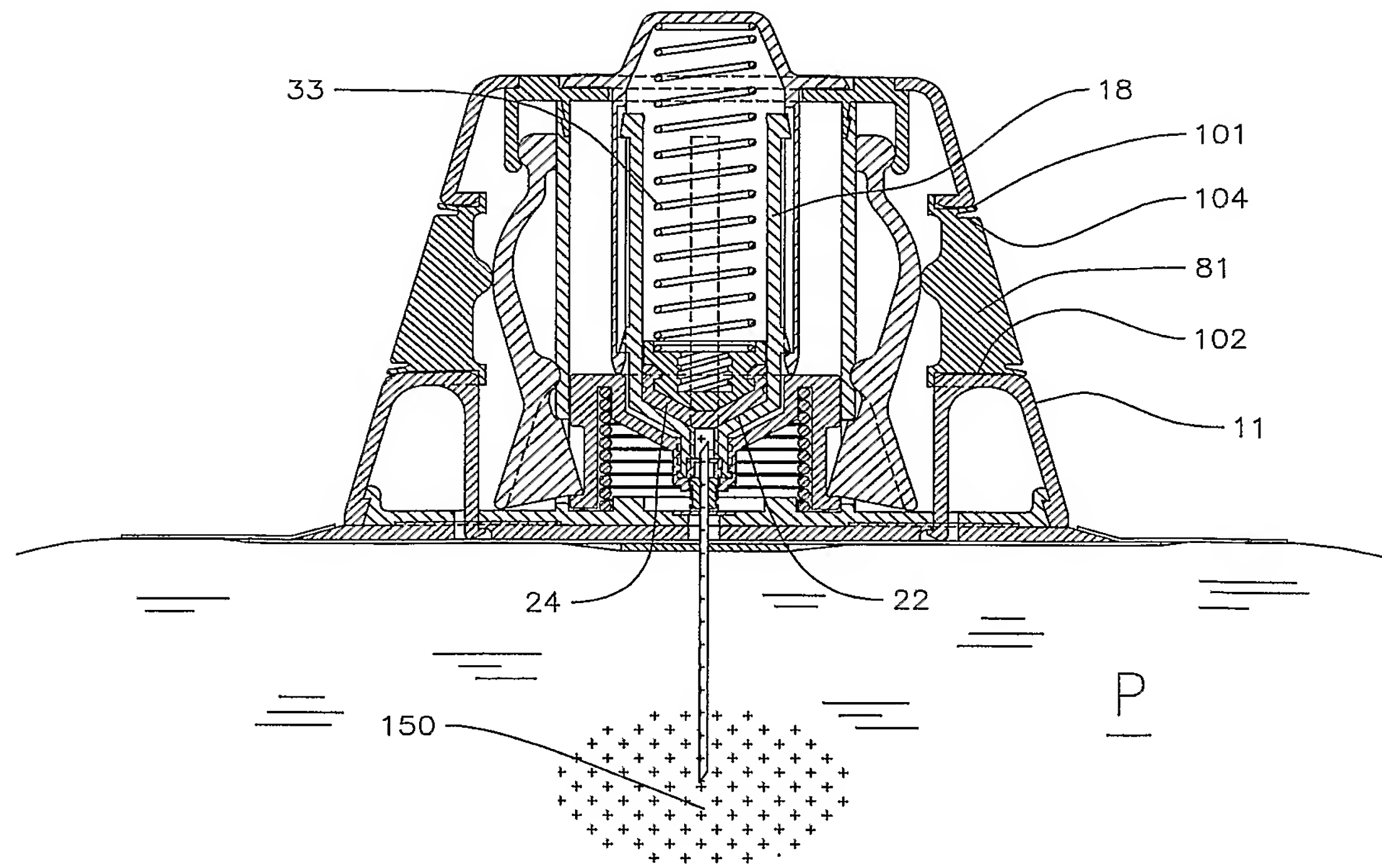


Fig. 25

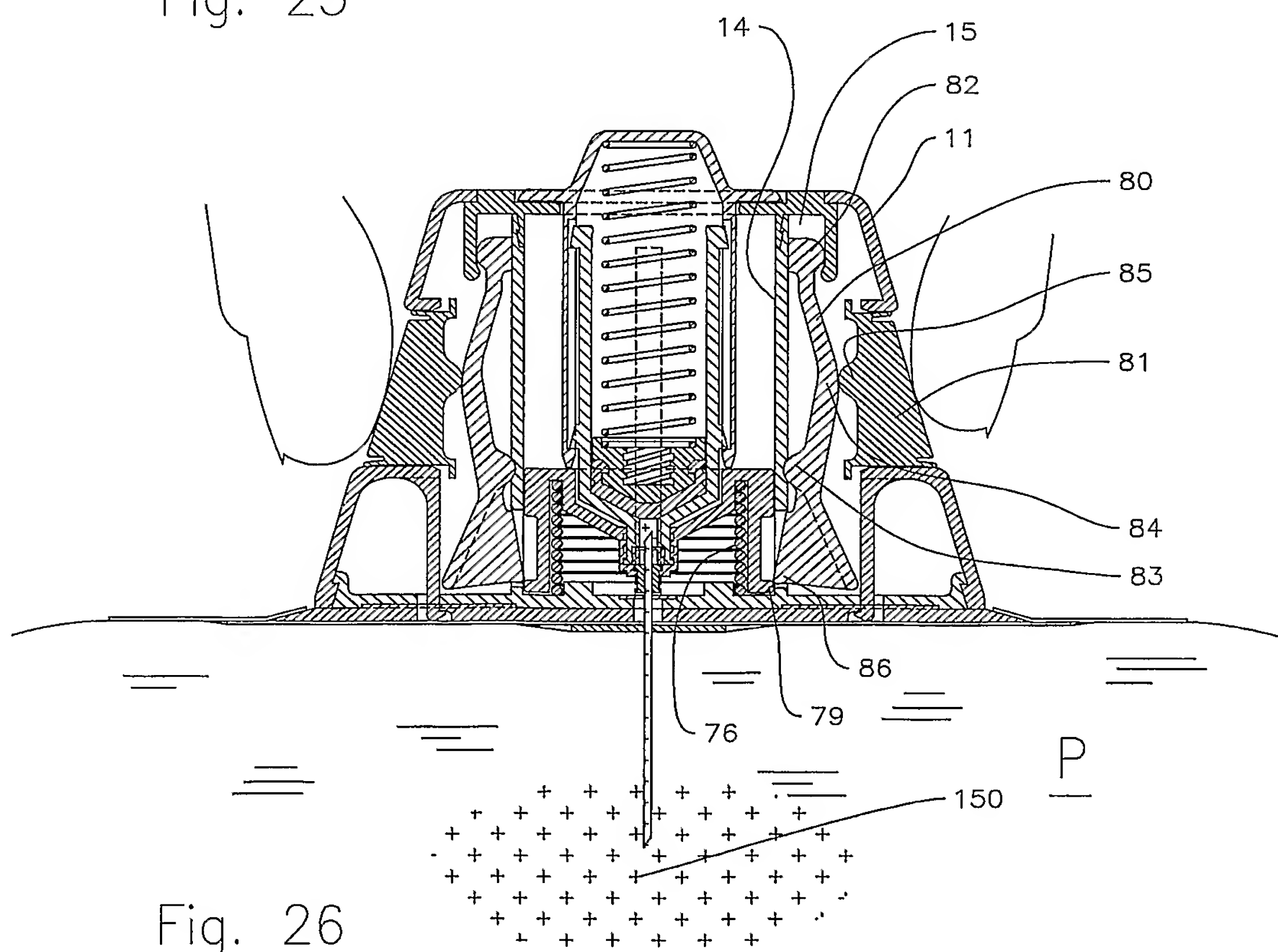


Fig. 26

16/21

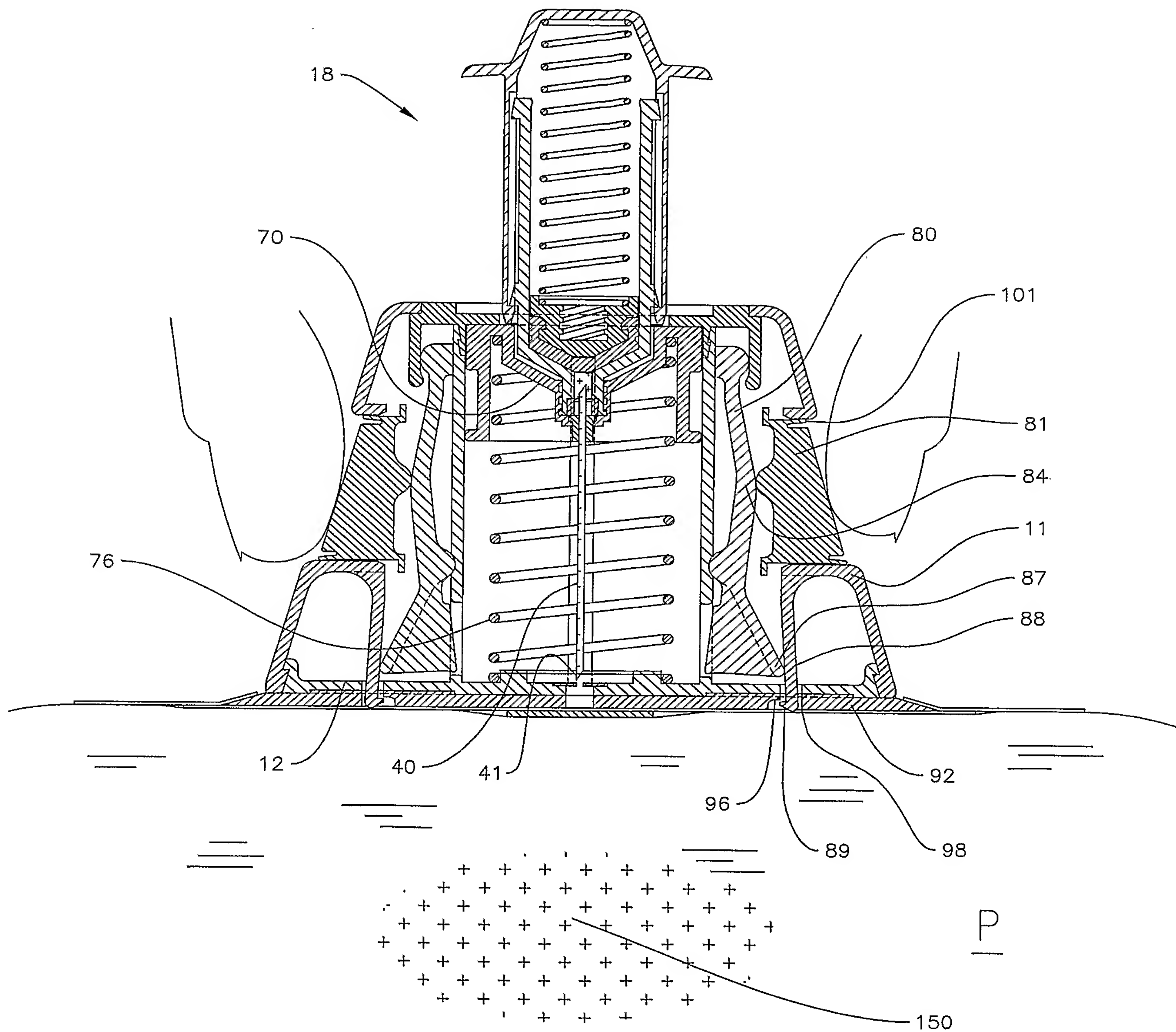


Fig. 27

17/21

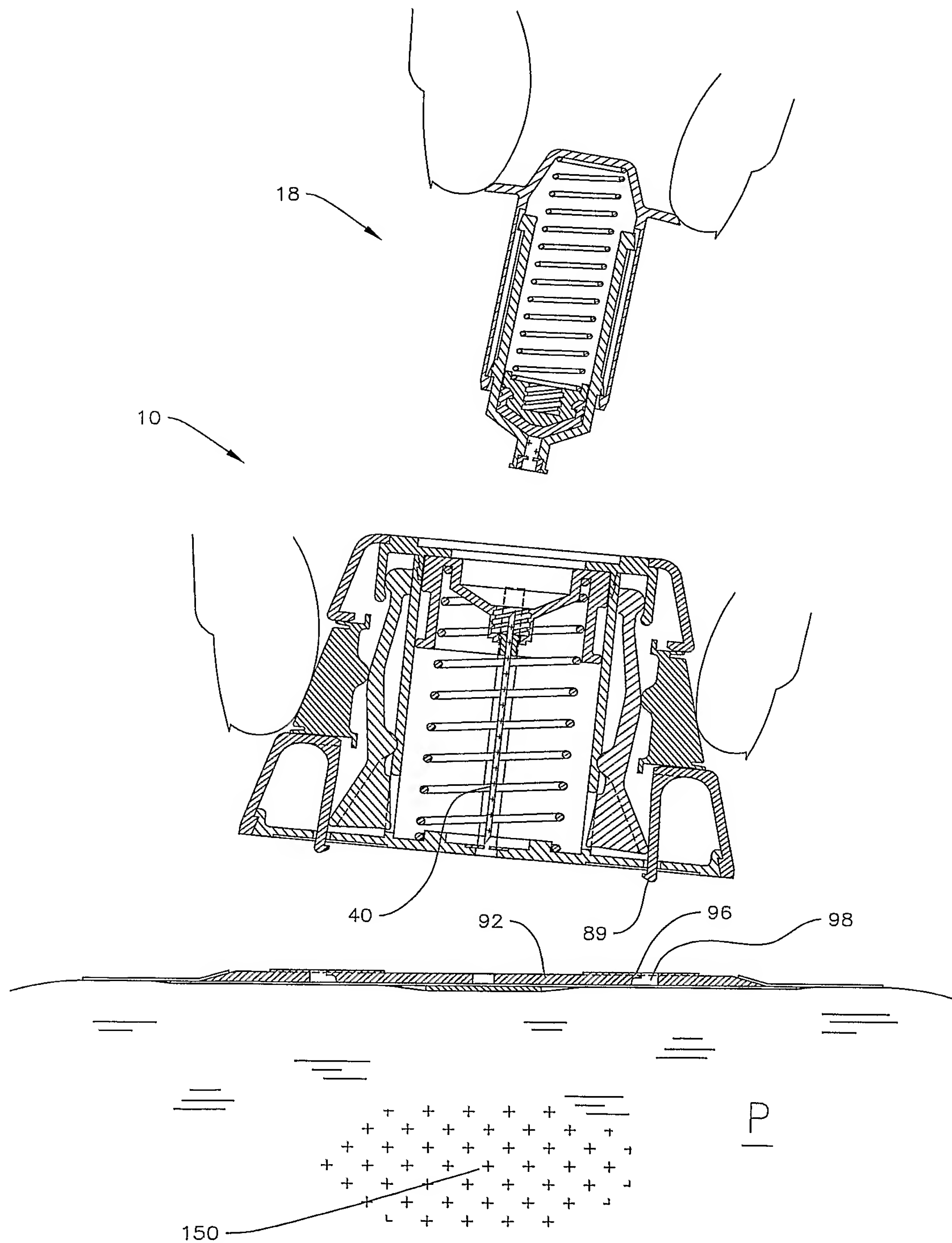


Fig. 28

18/21

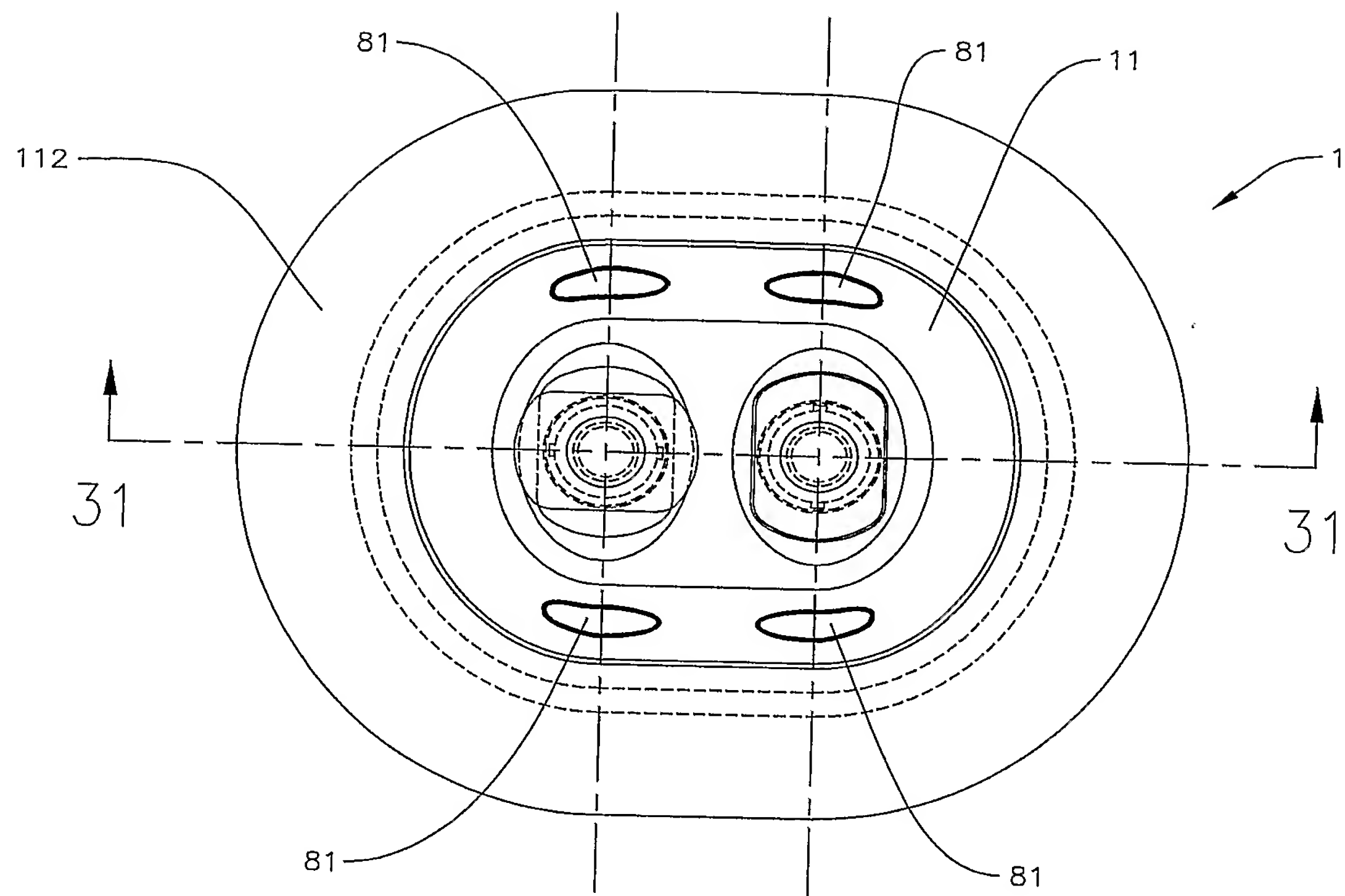


Fig. 29

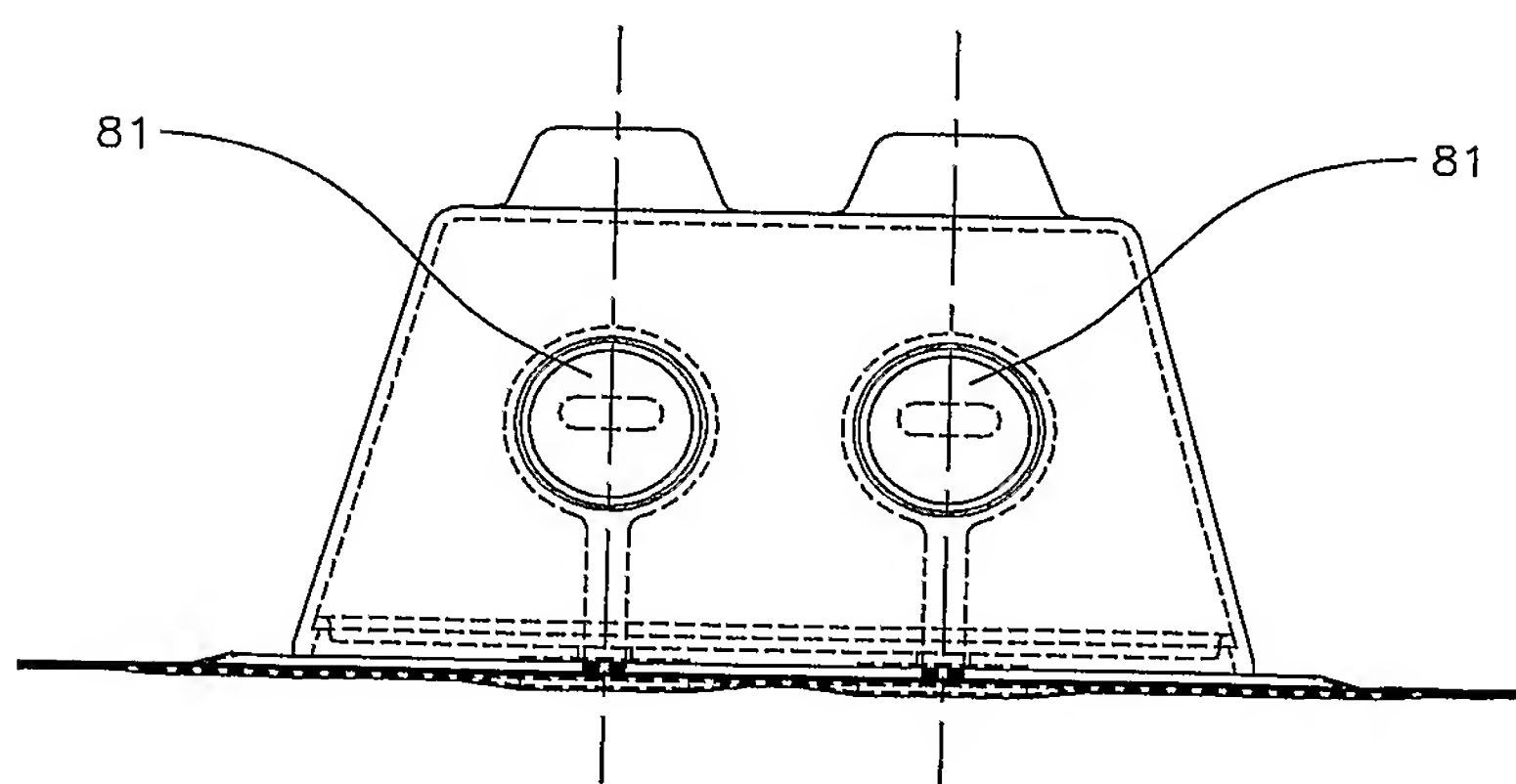


Fig. 30

19/21

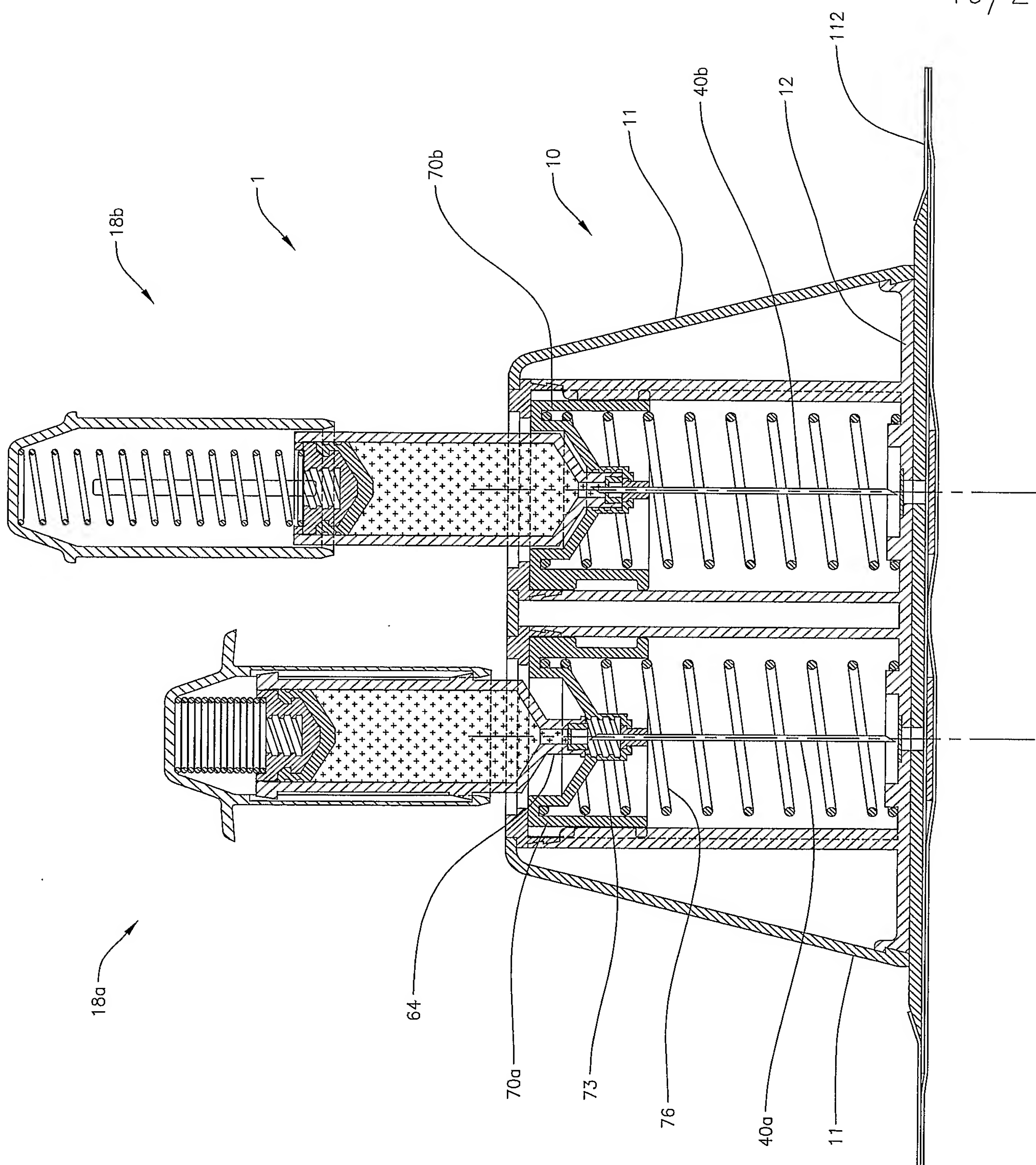
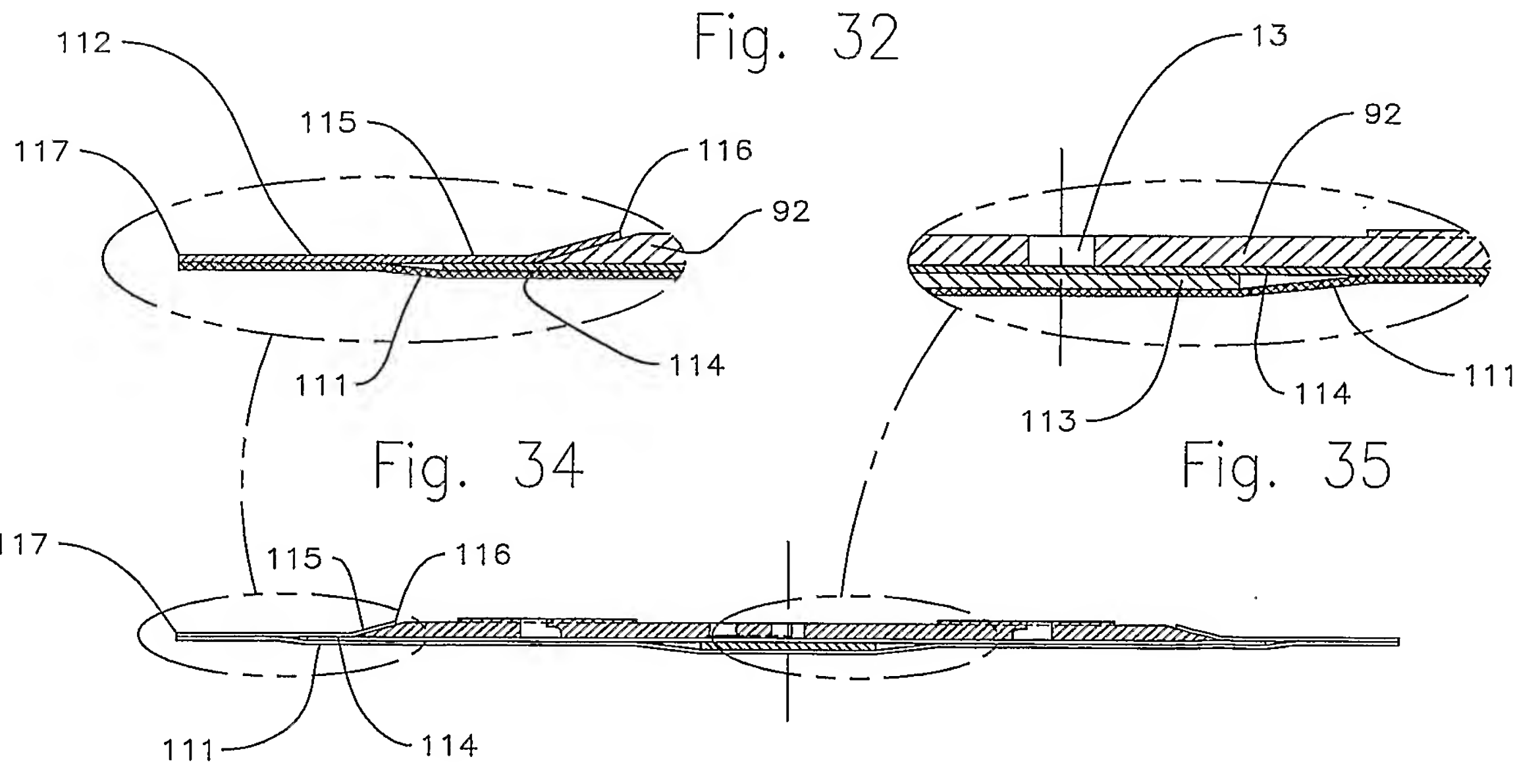
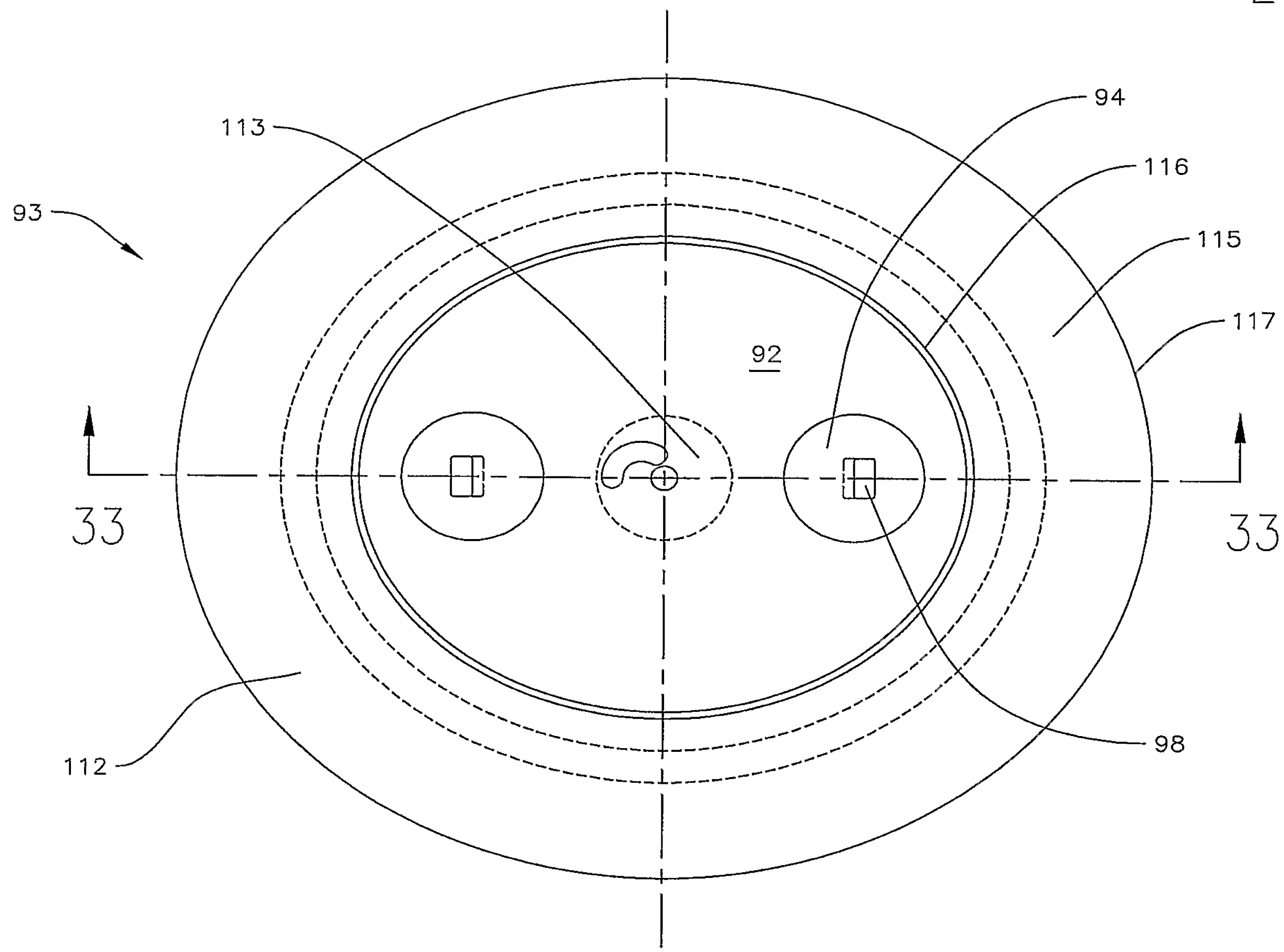


Fig. 31

20/21



21/21

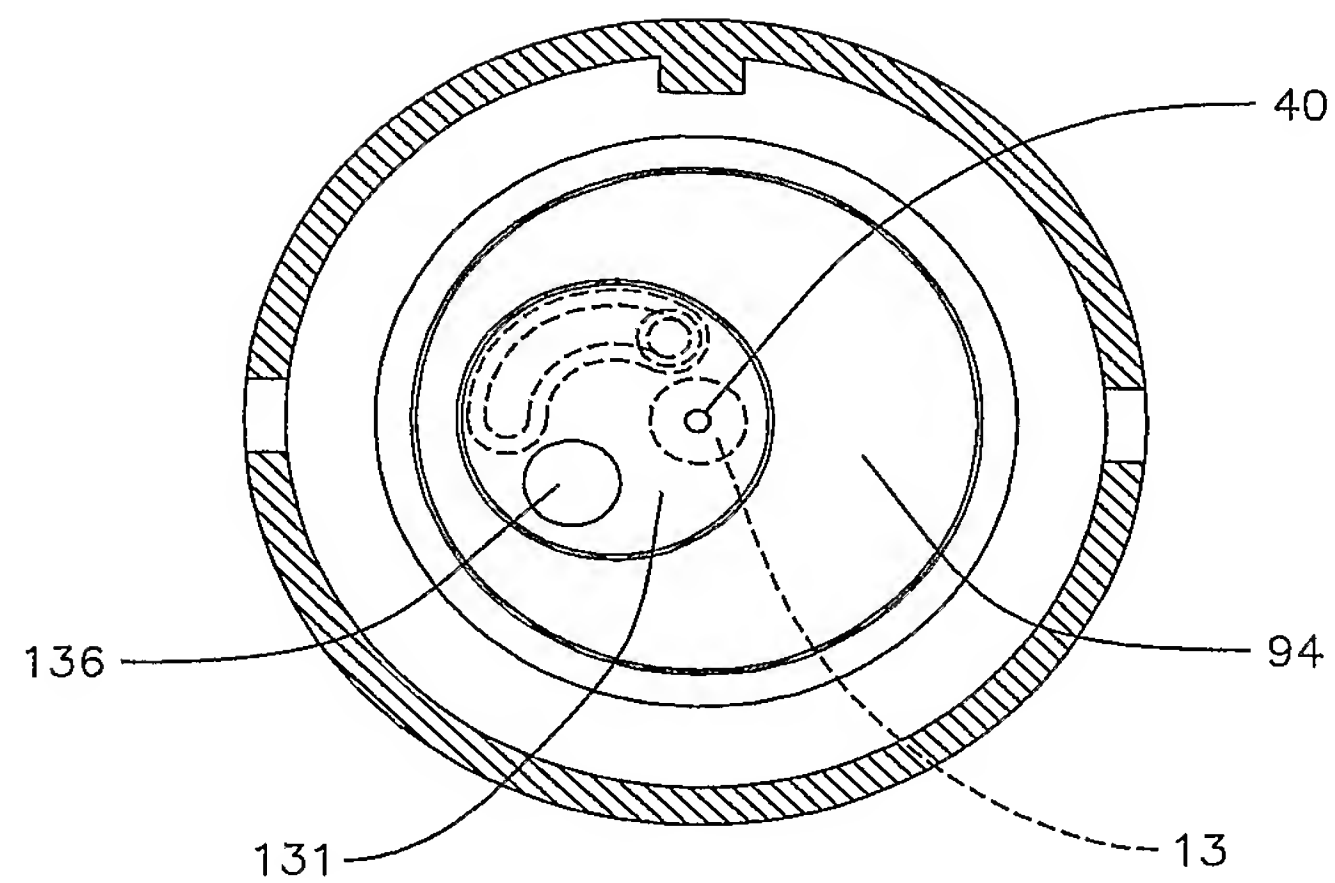


Fig. 38

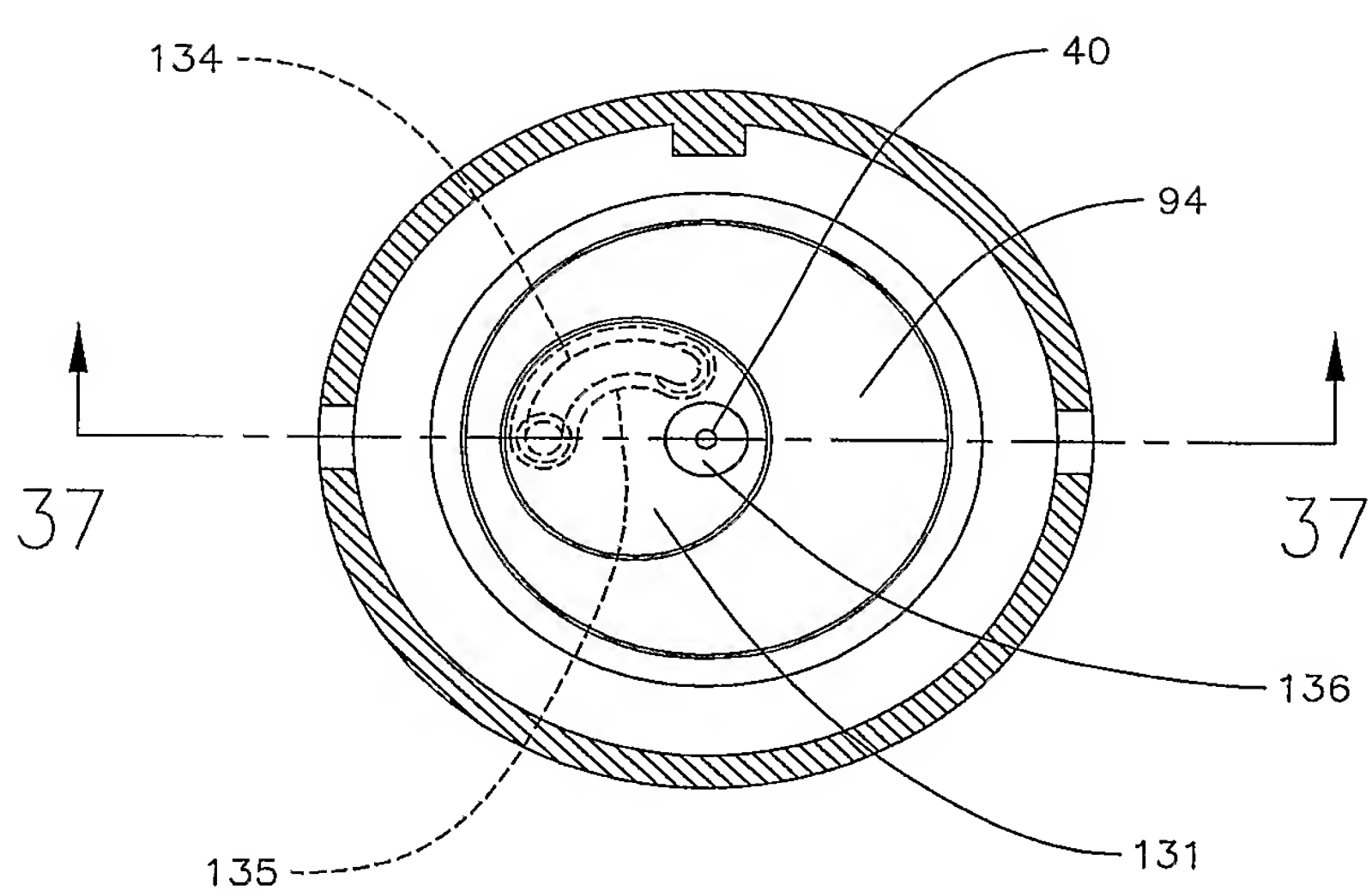


Fig. 36

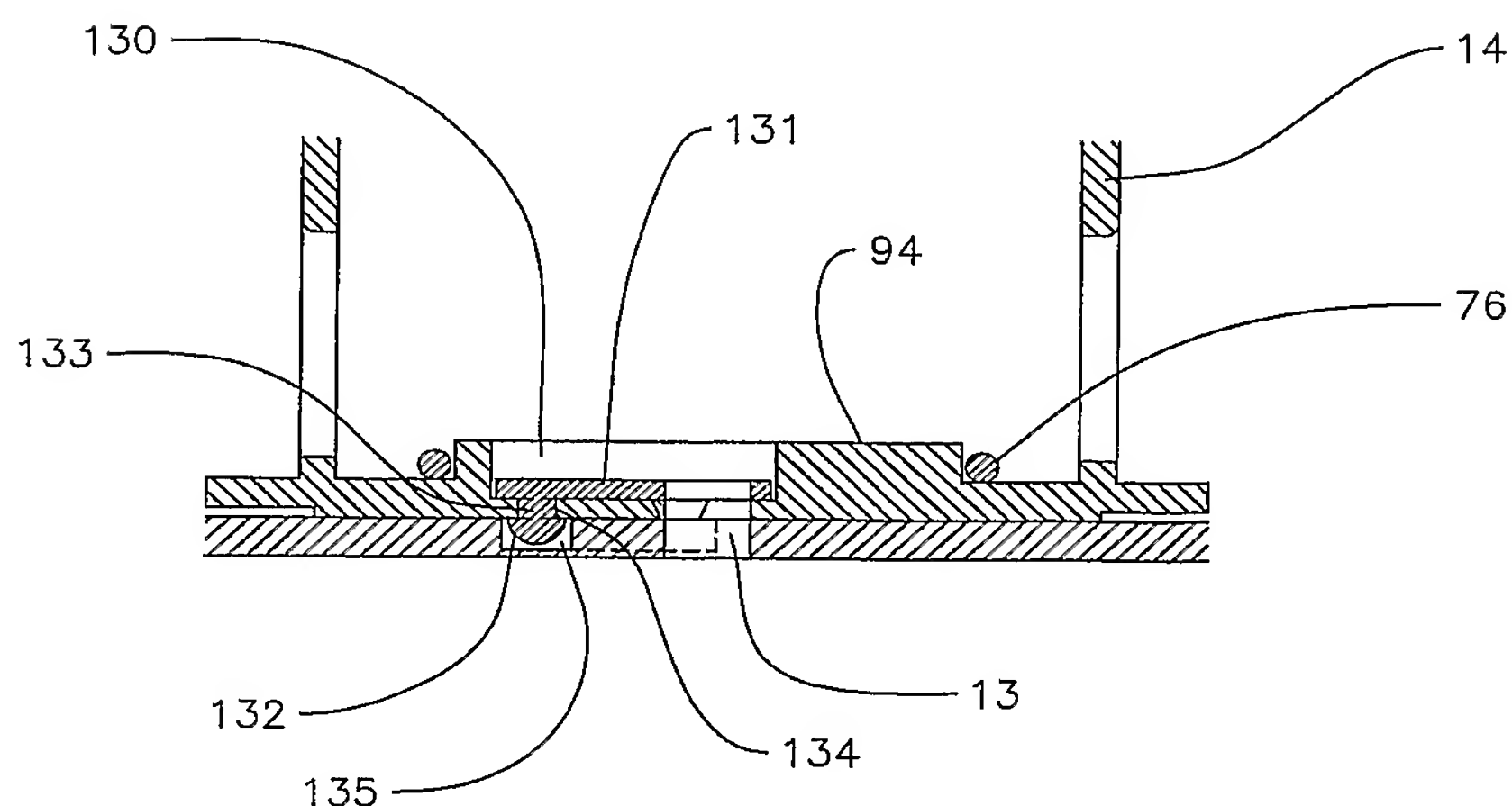


Fig. 37